

福島第一原子力発電所の原子炉建屋の現状の
耐震安全性および補強等に関する検討に係る報告書
(その3)

平成23年8月

東京電力株式会社

目 次

- 1 . はじめに
- 2 . 耐震安全性評価に関する検討方針
- 3 . 耐震安全性評価に関する検討結果
- 4 . 耐震補強工事等の対策に関する検討結果
- 5 . まとめ

添付資料 - 1 : 2号機の原子炉建屋の耐震安全性評価に関する詳細

添付資料 - 2 : 5号機の原子炉建屋の耐震安全性評価に関する詳細

添付資料 - 3 : 6号機の原子炉建屋の耐震安全性評価に関する詳細

福島第一原子力発電所の原子炉建屋の現状の耐震安全性
および補強等に関する検討に係る報告書（その3）

1. はじめに

本報告書は、「核原料物質、核燃料物質及び原子炉の規制に関する法律第67条第1項の規定に基づく報告の徴収について」（平成23年4月13日）に基づき、福島第一原子力発電所の原子炉建屋の現状の耐震安全性および補強に関する検討を実施した結果を報告するものである。

5月28日に提出した（その1）の報告書では、1号機及び4号機を対象としたものであり、7月13日に提出した（その2）の報告書では、3号機を対象としたものであったが、今回の（その3）は、2号機、5号機及び6号機を対象としたものである。

2. 耐震安全性評価に関する検討方針

（1）2号機の原子炉建屋

2号機の原子炉建屋は、東側外壁のブローアウトパネルが開放しているものの、外見上損傷は見られない。建屋内部については線量が高く立ち入りが制限されているため、確認は出来ていないものの、現時点では損傷が無いものと考えられる。このような状況を踏まえると、建屋の耐震性という観点からは、耐震バックチェックの解析結果（『福島第一原子力発電所 「発電用原子炉施設に関する耐震設計審査指針」の改訂に伴う耐震安全性評価結果 中間報告書（改訂2）』平成22年4月19日）をそのまま適用できるものと考えられる。

（2）5号機及び6号機の原子炉建屋

5号機と6号機は、既に冷温停止状態を維持しており、外見上の損傷は見られず、内部についても詳細な点検は行っていないが、構造的な損傷があったとの情報は得られていない。したがって、このような状況を踏まえると、建屋の耐震性という観点からは、耐震バックチェックの解析結果をそのまま適用できるものと考えられる。

3. 耐震安全性評価に関する検討結果

（1）2号機の原子炉建屋

耐震バックチェックにおいて、基準地震動 S_s を用いた時刻歴応答解析を実施した結果、耐震壁に発生するせん断ひずみは最大でも 0.17×10^{-3} であり、評価基準値で

ある 4×10^{-3} を大きく下回っており、十分な安全性を有しているものと評価している（結果的にはおおむね弾性範囲と言える状態であった。）

また、格納容器内が一時的に高温化した影響でシェル壁の剛性が低下した可能性や3月15日に地下階の圧力抑制室付近で異音が発生したことを踏まえたパラメータスタディを実施し、多少の数値変動はあるものの解析結果に大きな差異は生じないことを確認した。

したがって、耐震安全上重要な設備である「原子炉圧力容器」、「原子炉格納容器」、「使用済燃料プール」などに影響を及ぼすおそれはないものと評価している。

（添付資料 - 1）

（2）5号機及び6号機の原子炉建屋

耐震バックチェックにおいて、基準地震動 S_s を用いた時刻歴応答解析を実施した結果、5号機の耐震壁に発生するせん断ひずみは最大でも 0.19×10^{-3} であり、6号機の耐震壁に発生するせん断ひずみは最大でも 0.33×10^{-3} であり、評価基準値である 4×10^{-3} を大きく下回っており、十分な安全性を有しているものと評価している。したがって、耐震安全上重要な設備である「原子炉圧力容器」、「原子炉格納容器」、「使用済燃料プール」などに影響を及ぼすおそれはないものと評価している。

（添付資料 - 2 , 3）

4 . 耐震補強工事等の対策に関する検討結果

（1）2号機の原子炉建屋

耐震安全性評価の結果として、耐震安全性の確保ができないおそれがある箇所は無かったことから、現段階では緊急的な耐震補強工事等の対策は考えていない。また、現段階では建物内部の線量レベルが高いことから立入が難しいという面もある。今後、環境改善が進み建物内部の線量レベルが作業を行うのに十分な程度に低減された場合には、建屋内部の状況を確認するとともに、損傷が確認された場合には耐震性を維持するための補修を行うこととする。

（2）5号機及び6号機の原子炉建屋

耐震安全性評価の結果として、耐震安全性の確保ができないおそれがある箇所は無かったことから、現段階では緊急的な耐震補強工事等の対策は考えていない。また、今後、建屋内部の状況を確認するとともに、建屋の損傷が確認された場合には耐震性を維持するための補修を行うこととする。

5 . まとめ

本報告書においては、2号機、5号機及び6号機の原子炉建屋について、耐震安全性評価を実施し、耐震安全性の確保ができないおそれがある箇所はないことを確認した。既に報告済みの1号機、3号機及び4号機の原子炉建屋についても、耐震安全性評価を実施し、耐震安全性の確保ができないおそれがある箇所はないことを確認している。福島第一原子力発電所の全ての原子炉建屋の現状において、耐震安全性の確保ができないおそれがある箇所はないものと考えられる。

添付資料 - 1 : 2号機の原子炉建屋の耐震安全性評価に関する詳細

1．評価方針

2号機の原子炉建屋については、図 - 1.1 に示す外観写真（平成 23 年 3 月 24 日撮影）の通り、外観写真からは外見上の損傷は確認できない。東面の外観写真よりブローアウトパネルが開放していることが確認できるが、非構造部材であり、建屋の構造上は問題ないものと考えられる。建屋内部については線量が高く立入が制限されているため、確認は出来ないものの、現時点で原子炉建屋には構造的な損傷は無いものと評価した。

以上のような状況を踏まえると、建屋の耐震性という観点からは、耐震バックチェックの解析結果（『福島第一原子力発電所 「発電用原子炉施設に関する耐震設計審査指針」の改訂に伴う耐震安全性評価結果 中間報告書（改訂 2）』平成 22 年 4 月 19 日）をそのまま適用できるものと考えられ、本評価では、耐震バックチェックで実施した地震応答解析結果を用いて耐震安全性評価を実施することとした。

なお、原子炉建屋の構造への影響および耐震性の評価は、耐震安全上重要な設備への波及的影響防止の観点から、耐震壁のせん断ひずみと、鉄筋コンクリート造の耐震壁の終局限界に対応した評価基準値（ 4.0×10^{-3} ）との比較により行うこととする。



北面



西面



東面



南面

図 - 1.1 2号機原子炉建屋の外観写真

2. 耐震安全性評価

(1) 地震応答解析モデルの概要

耐震バックチェックにおける地震応答解析は、基準地震動 S_s を用いた地震応答解析（時刻歴応答解析法）によることとし、建物・構築物や地盤の特性を適切に表現できるモデル（図-2.1）を設定した上で実施した。

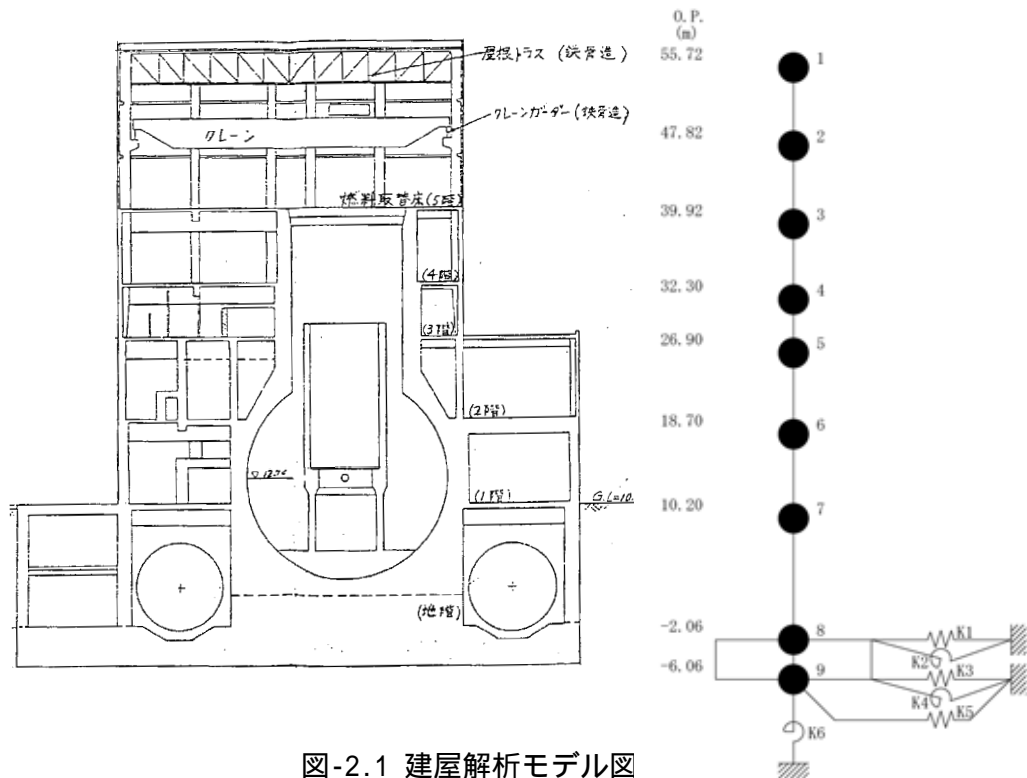


図-2.1 建屋解析モデル図

(2) 耐震安全性評価結果

表-2.1 および表-2.2 に耐震壁のせん断ひずみ一覧を示す。また図-2.2～図-2.15 に基準地震動 Ss に対する最大応答値を耐震壁のせん断スケルトン曲線上に示す。せん断ひずみは、最大で 0.17×10^{-3} (Ss-1H, EW 方向, 5F) であり、評価基準値 (4.0×10^{-3}) に対して十分余裕がある。

なお、地震後に原子炉格納容器内の温度が一時的に上昇したことの影響や3月15日に地下階の圧力抑制室付近で異音が発生したことの影響を考慮したパラメータスタディを実施し、多少の数値変動はあるものの解析結果に大きな差異は生じないことを確認した(付録1-1)。

以上のことから、原子炉建屋は耐震安全上重要な設備に波及的影響を与えないものと評価した。

表-2.1 耐震壁のせん断ひずみ一覧 (NS方向)

階	$(\times 10^{-3})$			評価基準値
	Ss-1H	Ss-2H	Ss-3H	
CRF	0.09	0.08	0.06	4.0 以下
5F	0.14	0.12	0.11	
4F	0.04	0.03	0.03	
3F	0.06	0.06	0.06	
2F	0.07	0.07	0.06	
1F	0.14	0.15	0.13	
B1F	0.07	0.07	0.06	

表-2.2 耐震壁のせん断ひずみ一覧 (EW方向)

階	$(\times 10^{-3})$			評価基準値
	Ss-1H	Ss-2H	Ss-3H	
CRF	0.10	0.10	0.09	4.0 以下
5F	0.17	0.16	0.15	
4F	0.06	0.05	0.05	
3F	0.09	0.09	0.08	
2F	0.09	0.09	0.08	
1F	0.13	0.13	0.11	
B1F	0.07	0.08	0.06	

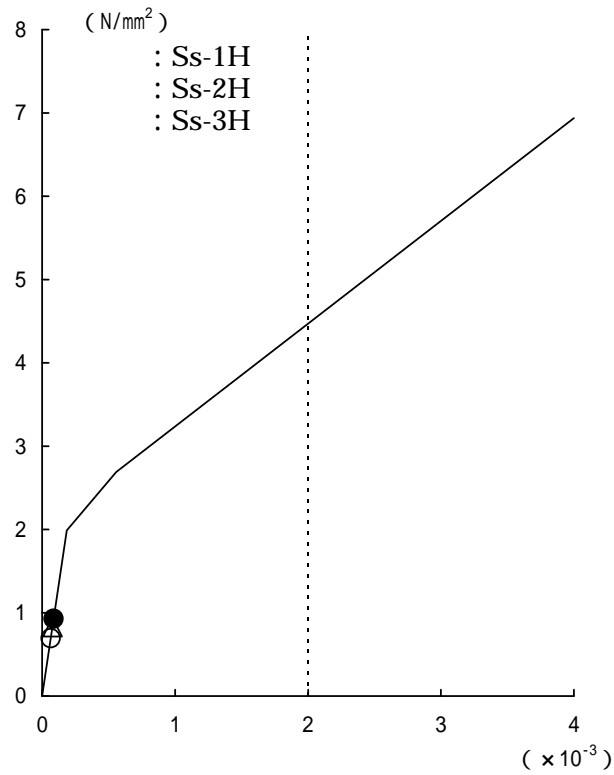


図-2.2 せん断スケルトン曲線上の最大応答値 (NS 方向, CRF)

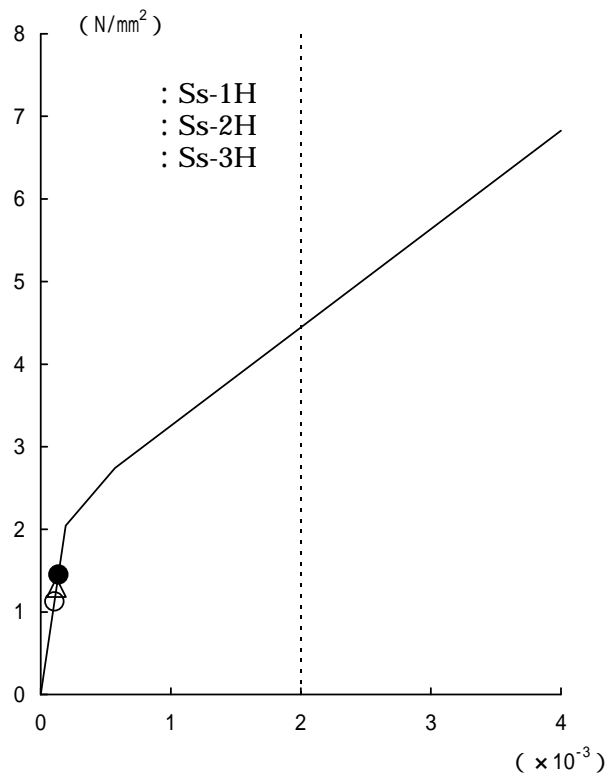


図-2.3 せん断スケルトン曲線上の最大応答値 (NS 方向, 5F)

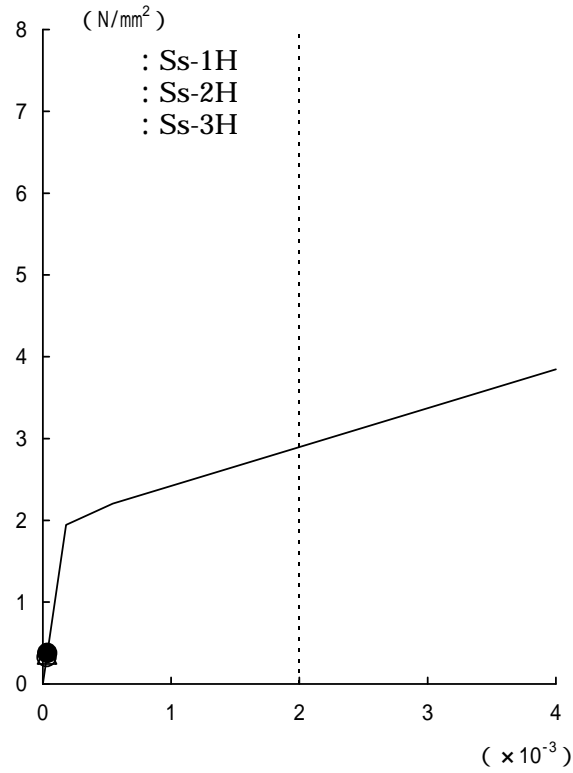


図-2.4 せん断スケルトン曲線上の最大応答値 (NS 方向, 4F)

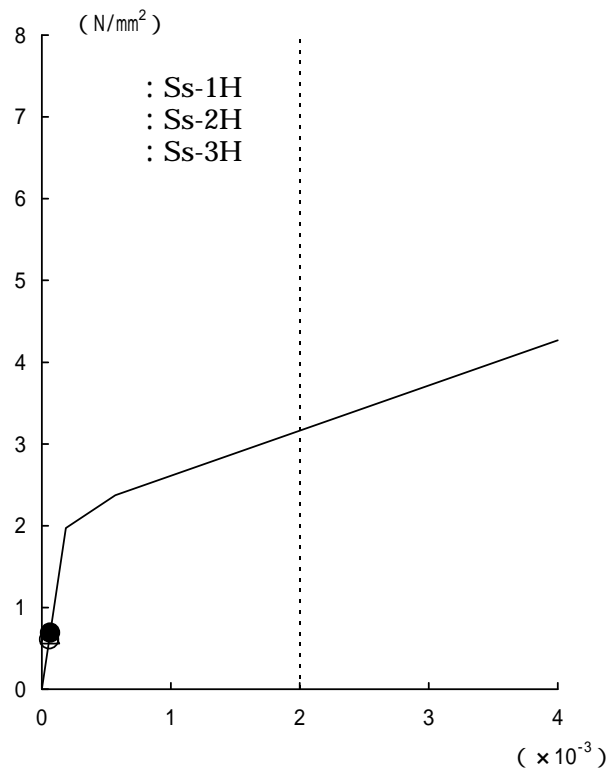


図-2.5 せん断スケルトン曲線上の最大応答値 (NS 方向, 3F)

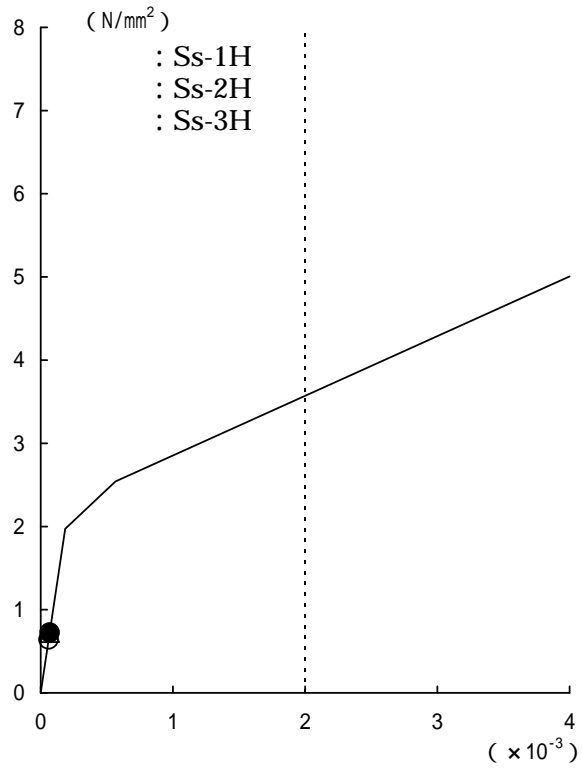


図-2.6 せん断スケルトン曲線上の最大応答値 (NS 方向, 2F)

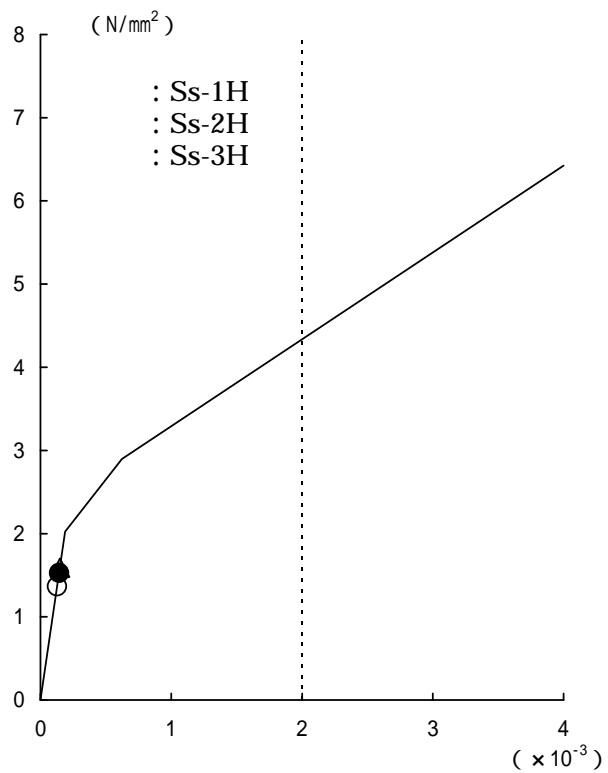


図-2.7 せん断スケルトン曲線上の最大応答値 (NS 方向, 1F)

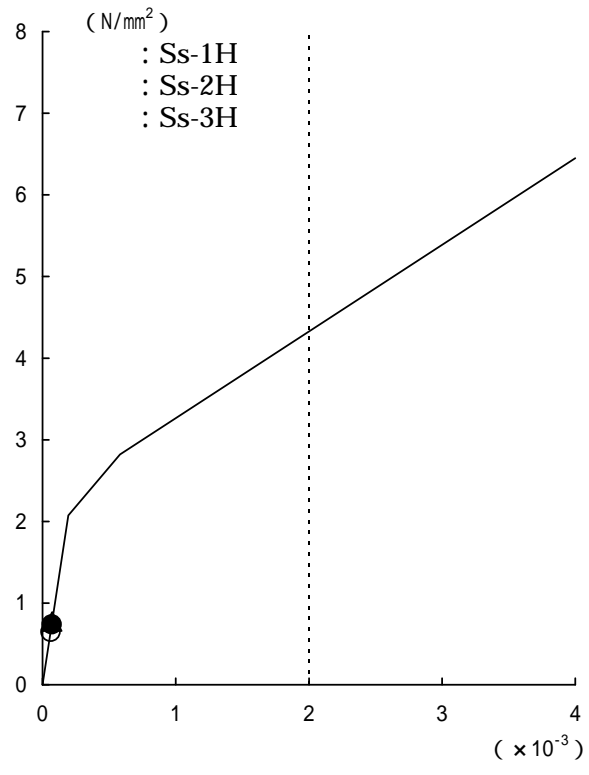


図-2.8 せん断スケルトン曲線上の最大応答値 (NS 方向, B1F)

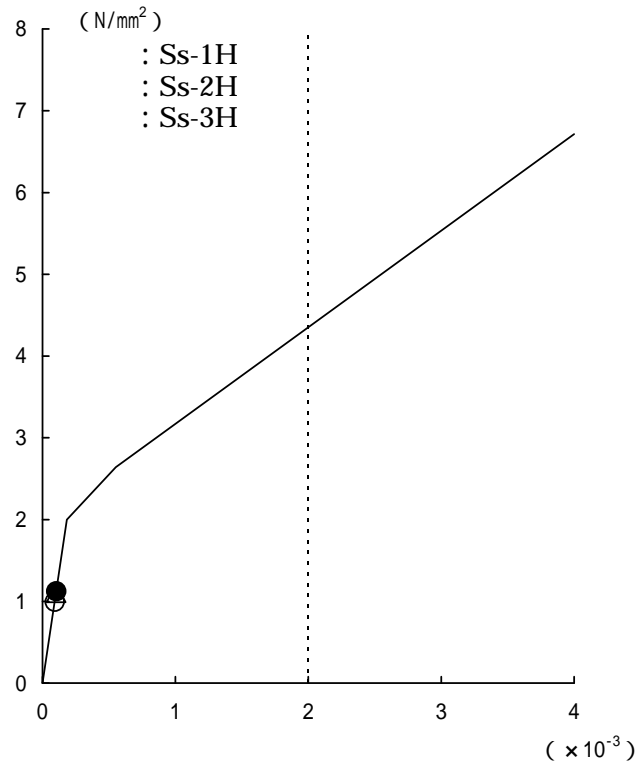


図-2.9 せん断スケルトン曲線上の最大応答値 (EW 方向, CRF)

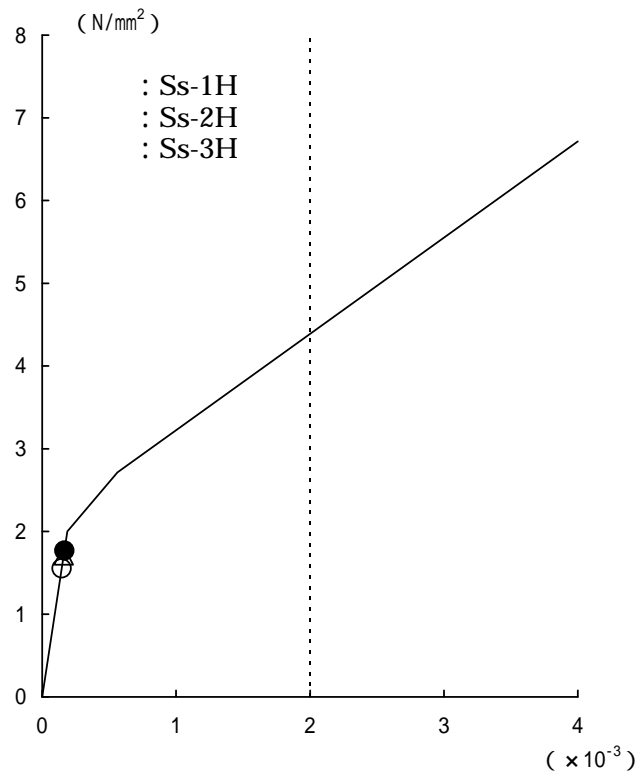


図-2.10 せん断スケルトン曲線上の最大応答値 (EW 方向, 5F)

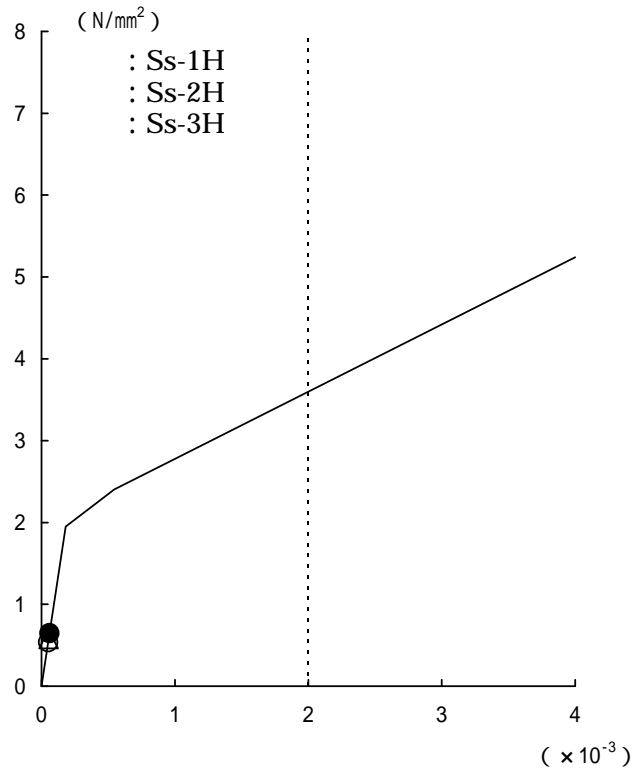


図-2.11 せん断スケルトン曲線上の最大応答値 (EW 方向, 4F)

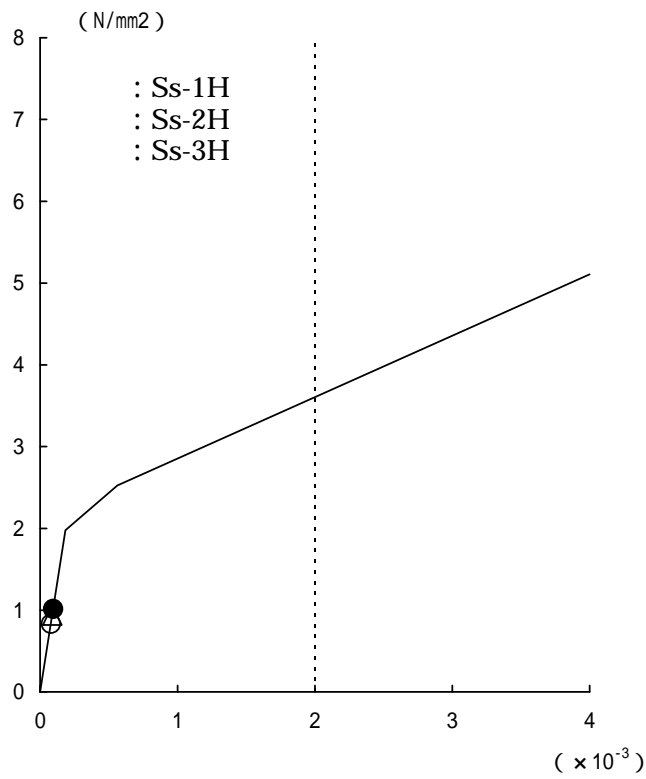


図-2.12 せん断スケルトン曲線上の最大応答値 (EW 方向, 3F)

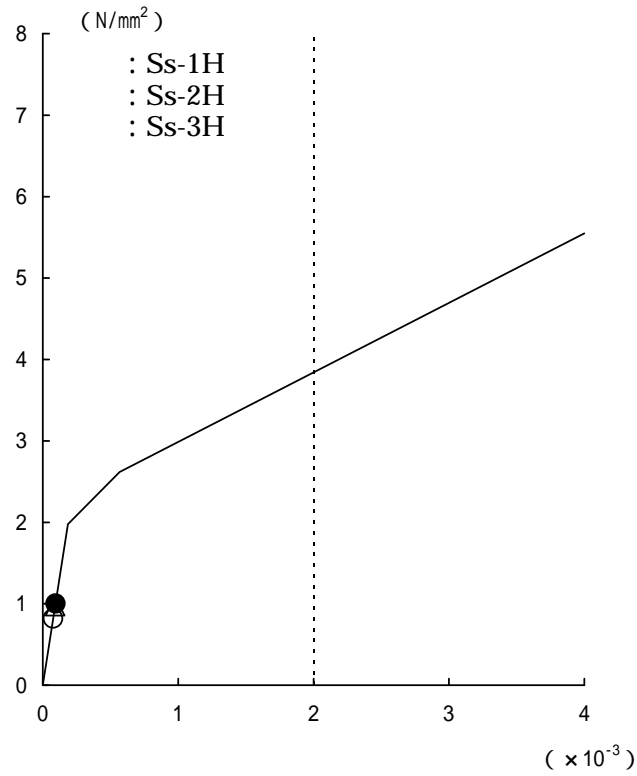


図-2.13 せん断スケルトン曲線上の最大応答値 (EW 方向, 2F)

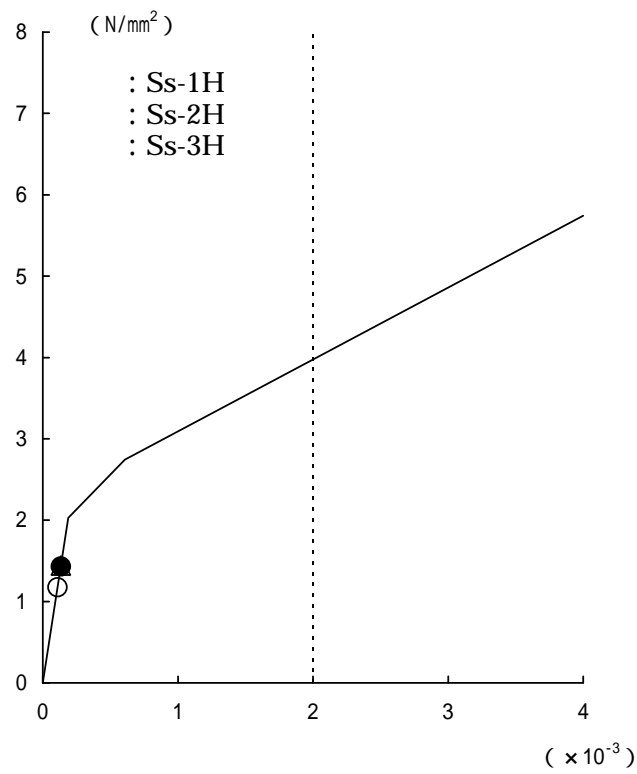


図-2.14 せん断スケルトン曲線上の最大応答値 (EW 方向, 1F)

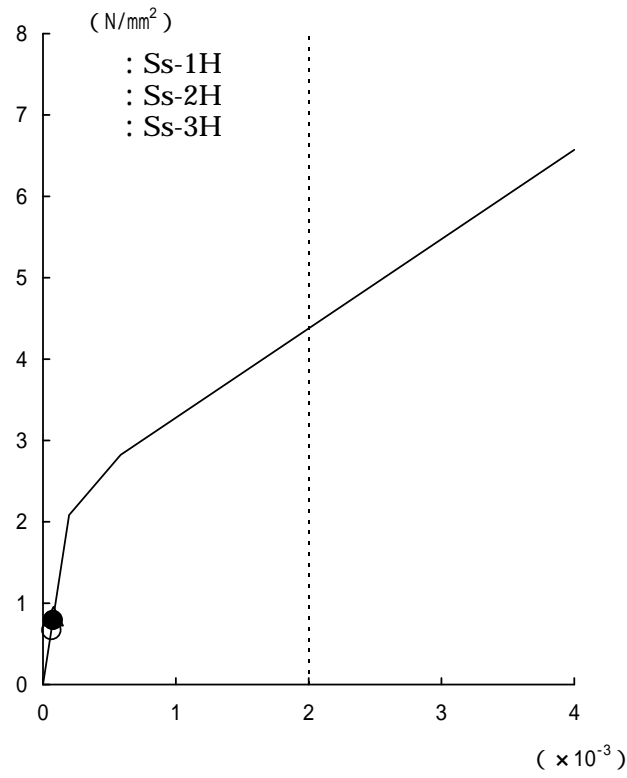


図-2.15 せん断スケルトン曲線上の最大応答値 (EW 方向, B1F)

原子炉建屋の耐震安全性評価に係るパラメータスタディ

1. 解析評価方針

福島第一原子力発電所 2 号機原子炉建屋に関しては、以下に示す変動要因を考慮したパラメータ解析を実施し、原子炉建屋の耐震安全性に与える影響程度を把握する。

原子炉建屋の構造への影響および耐震性評価は、基準地震動 S_s を用いることを基本とし、建物・構築物や地盤の応答性状を適切に表現できるモデルを設定した上で行う。なお、基準地震動 S_s-3 については、基準地震動 S_s-1 および S_s-2 の応答結果に比べて、過去の計算例から明らかに小さいことが分かっているため、今回の検討では省略することとする。

地震応答解析モデルは、地盤との相互作用を考慮し、曲げおよびせん断剛性を考慮した質点系モデルとする。

2 号機原子炉建屋については、地震後に原子炉格納容器内の温度が一時的に上昇したことにより、シェル壁の剛性が低下した可能性を考慮する。加えて、3 月 15 日に圧力抑制室付近で異音が発生したことが確認されていることから圧力抑制室付近で爆発が発生したと仮定し、爆発により周囲の耐震壁の剛性が低下した可能性を考慮する。

原子炉建屋の構造への影響および耐震性の評価は、耐震安全上重要な設備への波及的影響防止の観点から、地震応答解析により得られた耐震壁のせん断ひずみと、鉄筋コンクリート造の耐震壁の終局限界に対応した評価基準値 (4.0×10^{-3}) との比較により行う。

なお、鉄筋コンクリート造の耐震壁の終局限界に対しては、水平方向の地震力が支配的であり、鉛直方向の地震力の影響は少ないことから、地震応答解析は水平方向のみ実施する。

2 号機原子炉建屋の地震応答解析の評価手順例を図-1.1 に示す。

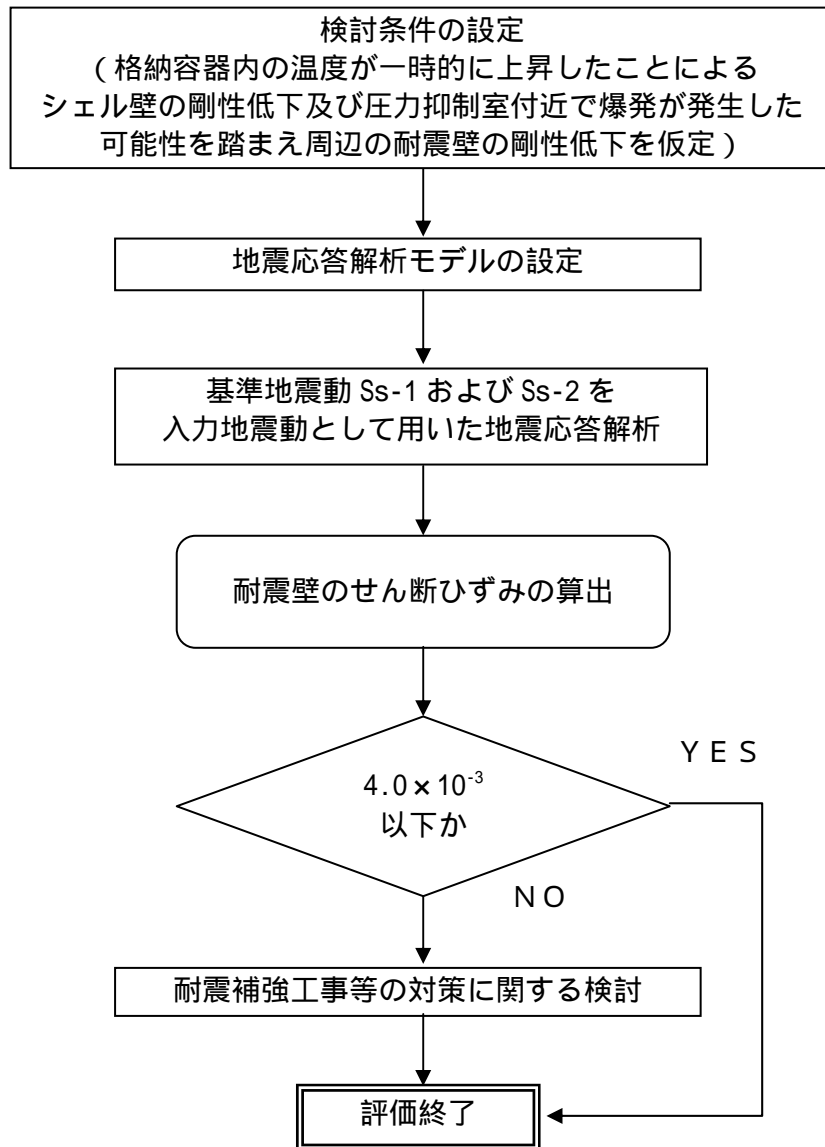


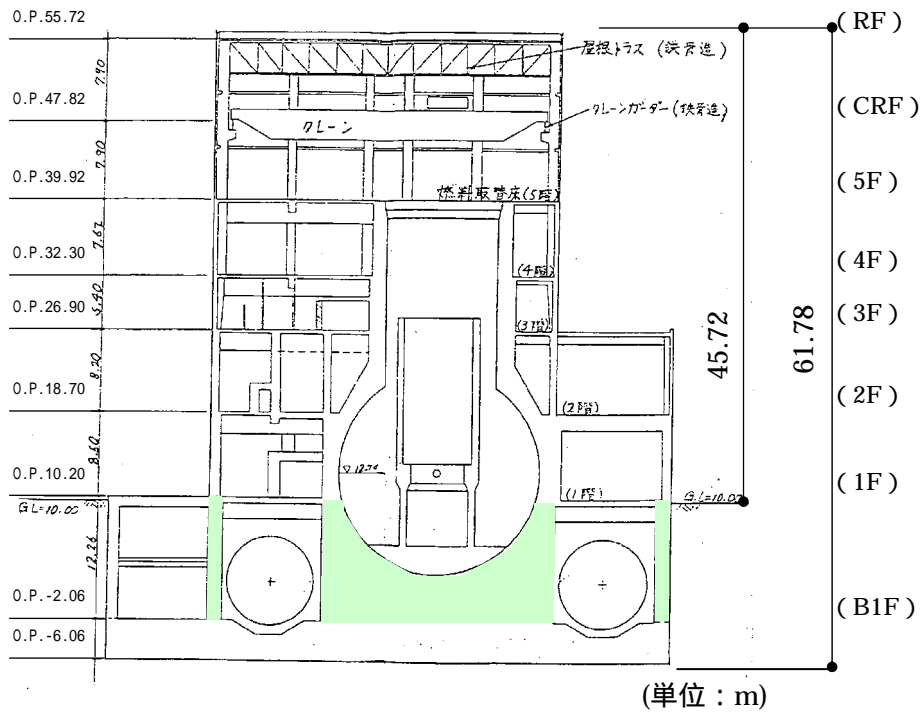
図-1.1 2号機原子炉建屋の地震応答解析の評価手順例

2. 検討条件の設定

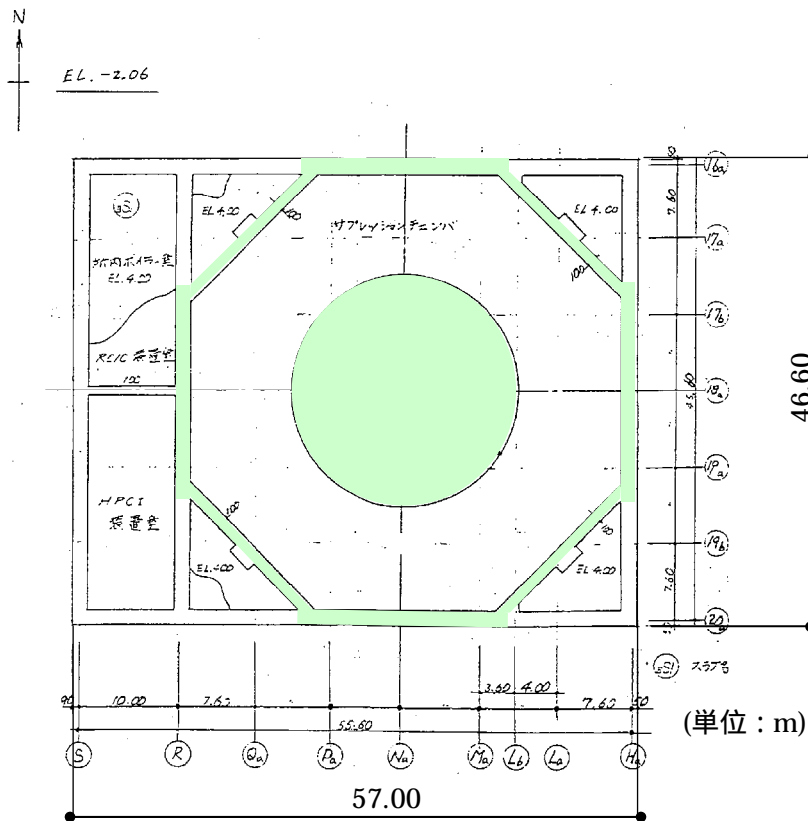
2号機原子炉建屋については、地震等による建屋の損傷は無いものの、本パラメータスタディでは下記の条件を考慮することとした。

地震後に原子炉格納容器内の温度が一時的に上昇したことにより、その剛性へ影響を与える可能性がある。その影響を検討するためにシェル壁部分のコンクリートの剛性を初期剛性の60%とする(図-2.1)。

また、3月15日に建屋地下一階部分にある圧力抑制室付近で異音が発生したことが確認されている。これを踏まえ、圧力抑制室付近で爆発が発生したと仮定し、周囲の耐震壁の剛性が低下した可能性を考慮して、圧力抑制室付近の耐震壁のコンクリートの剛性を初期剛性の90%とする(図-2.2)。



断面図 (EW 方向)



平面図 (基礎版上レベル)

剛性を 90%に低下させる部位:

図-2.2 圧力抑制室付近で爆発が発生したと仮定し初期剛性を 90%に低下させる部位

3. 解析に用いる入力地震動

2号機原子炉建屋への入力地震動は、「福島第一原子力発電所 『発電用原子炉施設に関する耐震設計審査指針』の改訂に伴う耐震安全性評価結果 中間報告書」(原管発官19第603号 平成20年3月31日付け)にて作成した解放基盤表面レベルに想定する基準地震動 Ss-1 および Ss-2 を用いることとする。

地震応答解析に用いる入力地震動の概念図を図-3.1 に示す。モデルに入力する地震動は、一次元波動論に基づき、解放基盤表面レベルに想定する基準地震動 Ss に対する地盤の応答として評価する。また、建屋基礎底面レベルにおけるせん断力を入力地震動に付加することにより、地盤の切欠き効果を考慮する。

このうち、解放基盤表面位置 (O.P. -196.0m) における基準地震動 Ss-1 および Ss-2 の加速度波形について、図-3.2 に示す。

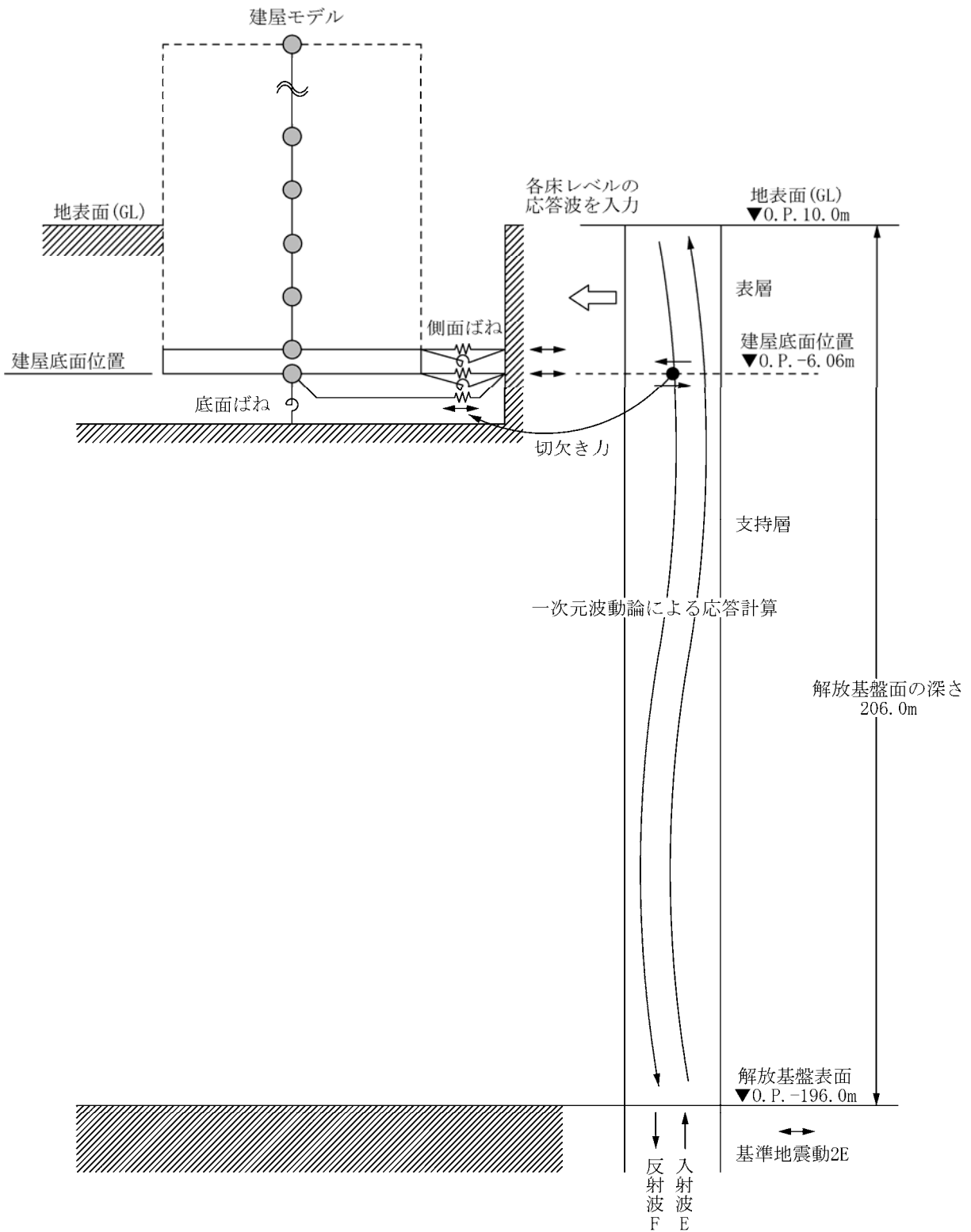


図-3.1 地震応答解析に用いる入力地震動の概念図

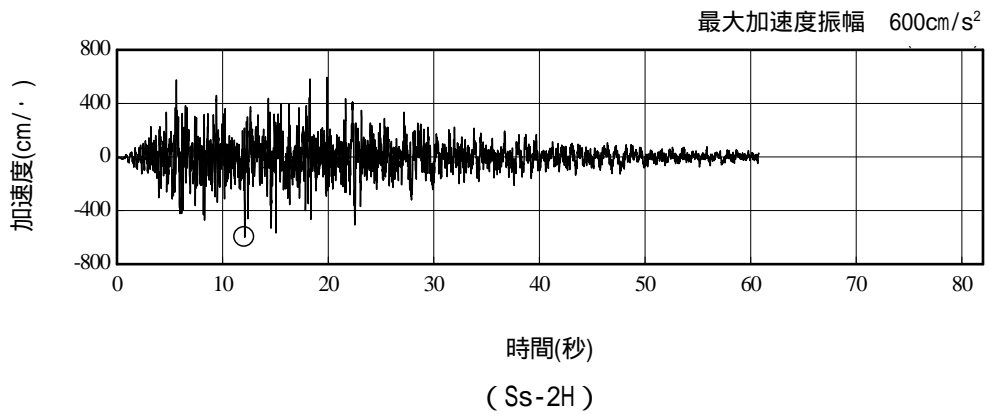
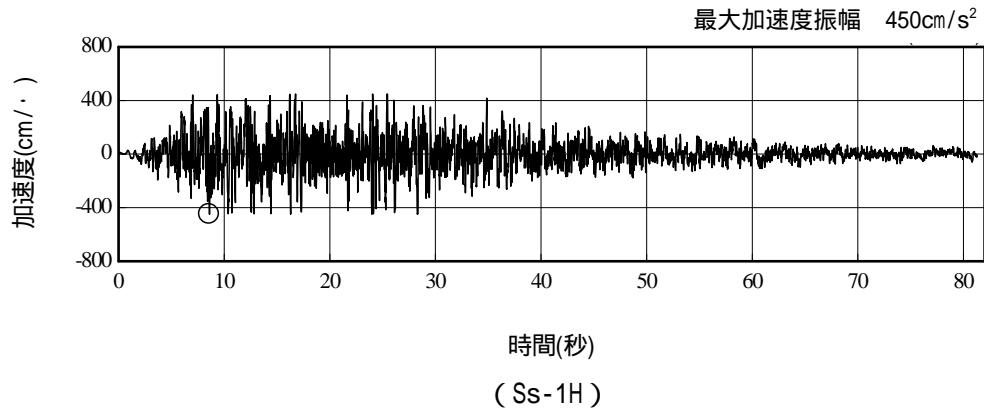


図-3.2 解放基盤表面位置における地震動の加速度時刻歴波形（水平方向）

4. 地震応答解析モデル

基準地震動 S_s に対する原子炉建屋の地震応答解析は、「3. 解析に用いる入力地震動」で算定した入力地震動を用いた動的解析による。

本検討では、『福島第一原子力発電所 「発電用原子炉施設に関する耐震設計審査指針」の改訂に伴う耐震安全性評価結果 中間報告書（改訂2）』（平成22年4月19日）にて作成した地震応答解析モデルを基に、次の項目について修正を加え、新たな地震応答解析モデルを構築することとする。

地震後に原子炉格納容器内の温度が一時的に上昇したことにより、シェル壁の剛性が影響を受ける可能性がある。その影響を検討するためにシェル壁部分のコンクリートの剛性を初期剛性の60%とする。

3月15日に建屋地下一階部分にある圧力抑制室付近で異音が発生したことが確認されていることを踏まえ、圧力抑制室付近で爆発が発生したと仮定し、周囲の耐震壁の剛性が低下した可能性を考慮して、圧力抑制室付近の耐震壁のコンクリートの剛性を初期剛性の90%とする。

(1) 水平方向の地震応答解析モデル

水平方向の地震応答解析モデルは、図-4.1 および図-4.2 に示すように、建屋を曲げ変形とせん断変形をする質点系とし、地盤を等価なばねで評価した建屋 - 地盤連成系モデルとする。建屋 - 地盤連成系としての効果は地盤ばねおよび入力地震動によって評価される。解析に用いるコンクリートの物性値を表-4.1 に、建屋解析モデルの諸元を表-4.2 に示す。

地盤定数は、水平成層地盤と仮定し、地震時のせん断ひずみレベルを考慮して定めた。解析に用いた地盤定数を表-4.3 に示す。

水平方向の解析モデルにおいて、基礎底面地盤ばねについては、「JEAG 4601-1991」に示された手法を参考にして、成層補正を行ったのち、振動アドミタンス理論に基づいて、スウェイおよびロッキングばね定数を近似的に評価する。また、埋め込み部分の建屋側面地盤ばねについては、建屋側面位置の地盤定数を用いて、水平および回転ばねを「JEAG 4601-1991」に示された手法を参考にして、Novak ばねに基づく近似法により評価する。

地盤ばねは振動数に依存した複素剛性として得られるが、図-4.3 に示すようにばね定数 (K_c) として実部の静的な値を、また、減衰係数 (C_c) として建屋 - 地盤連成系の 1 次固有振動数に対応する虚部の値と原点を結ぶ直線の傾きを採用することにより近似する。

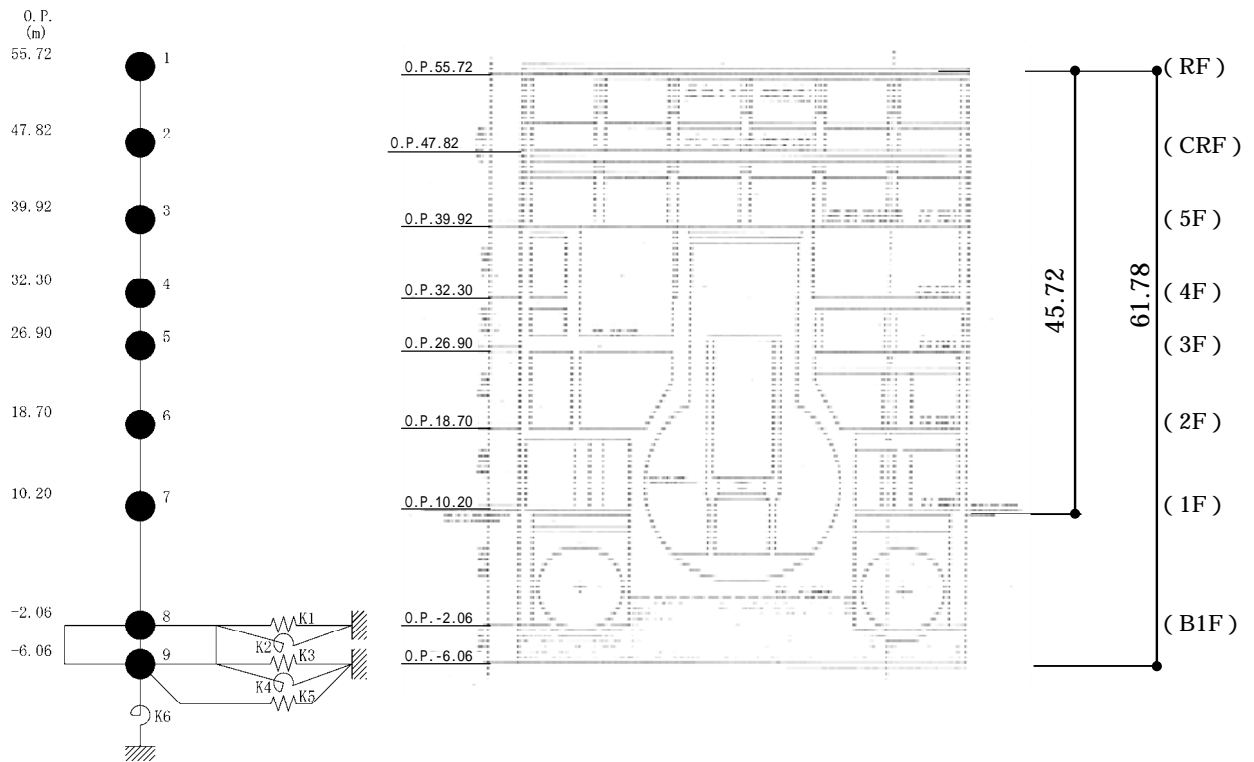


図-4.1 2号機原子炉建屋 地震応答解析モデル (NS方向)

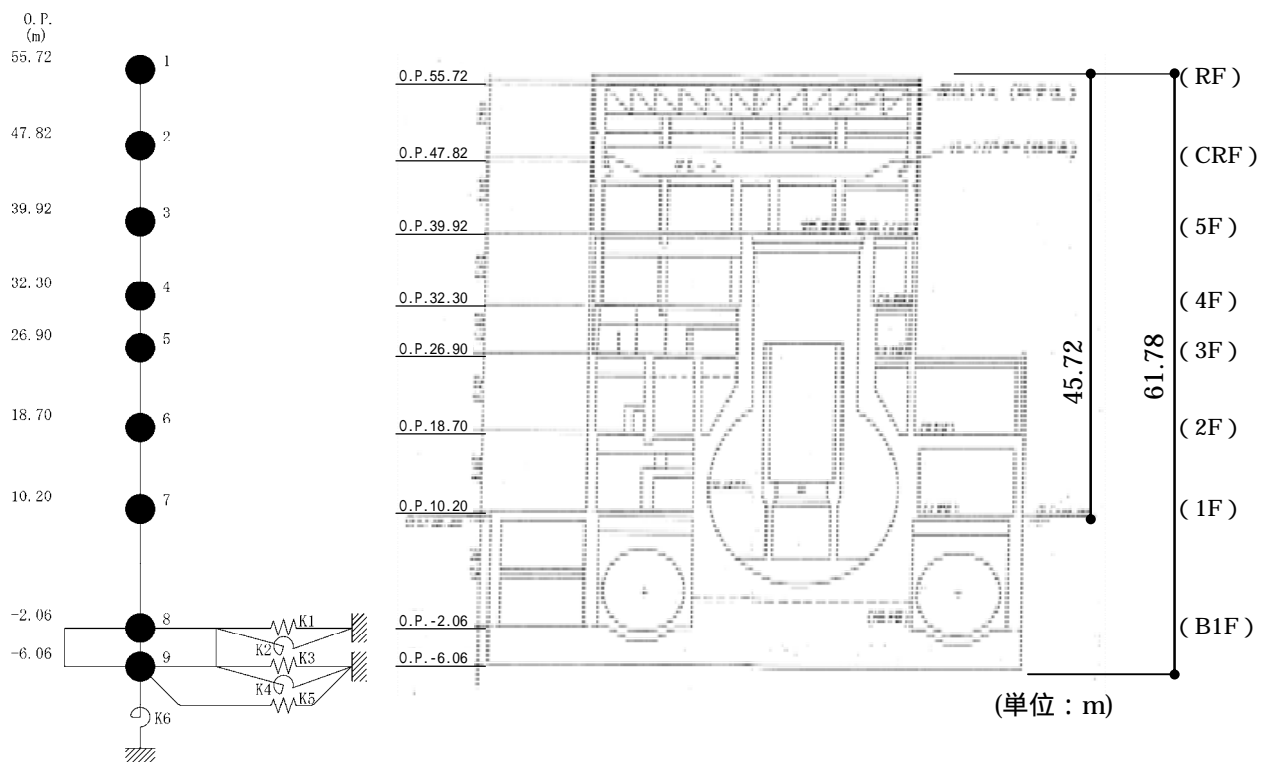


図-4.2 2号機原子炉建屋 地震応答解析モデル (EW方向)

表-4.1 地震応答解析に用いる物性値

コン クリ ート	強度 *1 F _c (N/mm ²)	ヤング係数*2 E (N/mm ²)	せん断弾性係数*2 G (N/mm ²)	ポアソン 比	単位体積重量 (kN/m ³)
	35.0	2.57 × 10 ⁴	1.07 × 10 ⁴	0.2	24
鉄筋	SD345相当 (SD35)				

*1：強度は実状に近い強度（以下「実強度」という。）を採用した。実強度の設定は、過去の圧縮強度試験データを収集し試験データのばらつきを考慮し圧縮強度平均値を小さめにまとめた値とした。

*2：実強度に基づく値を示す。

表-4.2 建屋解析モデルの諸元

(NS 方向)

質点番号	質点重量 W(kN)	回転慣性重量 $I_G (\times 10^5 \text{kN} \cdot \text{m}^2)$	せん断断面積 $A_S (\text{m}^2)$	断面2次モーメント $I (\text{m}^4)$	ヤング係数 $E_C (\times 10^7 \text{kN}/\text{m}^2)$	せん断弾性係数 $G (\times 10^7 \text{kN}/\text{m}^2)$
1	14,380	25.99				
2	10,220	18.53	18.6	10,154	2.57	1.070
3	58,470	105.81	18.6	10,675	2.57	1.070
4	70,440	127.49	184.3	22,551	2.51	1.001
5	107,720	194.96	166.8	24,629	2.50	0.973
6	116,670	211.14	249.3	44,401	2.47	0.936
7	199,190	360.49	157.1	40,661	2.40	0.921
8	277,540	502.20	456.8	110,444	2.42	0.819
9	125,030	226.24	2,656.2	480,675	2.57	1.070
合計	979,660					

ポアソン比 0.20
 減衰 h 5%
 基礎形状 46.6m(NS方向) × 57.0m(EW方向)

(EW 方向)

質点番号	質点重量 W(kN)	回転慣性重量 $I_G (\times 10^5 \text{kN} \cdot \text{m}^2)$	せん断断面積 $A_S (\text{m}^2)$	断面2次モーメント $I (\text{m}^4)$	ヤング係数 $E_C (\times 10^7 \text{kN}/\text{m}^2)$	せん断弾性係数 $G (\times 10^7 \text{kN}/\text{m}^2)$
1	14,380	14.71				
2	10,220	10.40	14.0	5,941	2.57	1.070
3	58,470	59.72	14.0	6,307	2.57	1.070
4	70,440	71.88	108.2	11,927	2.46	0.952
5	107,720	194.96	117.3	14,199	2.45	0.931
6	116,670	211.14	185.7	33,796	2.44	0.890
7	199,190	539.37	173.1	41,960	2.41	0.935
8	277,540	751.39	418.1	132,121	2.44	0.795
9	125,030	338.53	2,656.2	719,166	2.57	1.070
合計	979,660					

ポアソン比 0.20
 減衰 h 5%
 基礎形状 46.6m(NS方向) × 57.0m(EW方向)

表-4.3 地盤定数

(Ss-1)

標高 O.P. (m)	地質	S波速度 Vs (m/s)	単位体積 重量 t (kN/m ³)	ポアソン比	初期せん断 弾性係数 G ₀ (kN/m ²)	剛性低下率 G/G ₀	せん断弾性 係数 G (kN/m ²)	剛性低下後 S波速度 Vs (m/s)	減衰定数 h (%)
10.0									
1.9	砂岩	380	17.8	0.473	262,000	0.85	223,000	351	3
-10.0	泥岩	450	16.5	0.464	341,000	0.78	266,000	398	3
-80.0		500	17.1	0.455	436,000		340,000	442	
-108.0		560	17.6	0.446	563,000		439,000	495	
-196.0		600	17.8	0.442	653,000		509,000	530	
	解放基盤	700	18.5	0.421	924,000	1.00	924,000	700	-

(Ss-2)

標高 O.P. (m)	地質	S波速度 Vs (m/s)	単位体積 重量 t (kN/m ³)	ポアソン比	初期せん断 弾性係数 G ₀ (kN/m ²)	剛性低下率 G/G ₀	せん断弾性 係数 G (kN/m ²)	剛性低下後 S波速度 Vs (m/s)	減衰定数 h (%)
10.0									
1.9	砂岩	380	17.8	0.473	262,000	0.85	223,000	351	3
-10.0	泥岩	450	16.5	0.464	341,000	0.81	276,000	405	3
-80.0		500	17.1	0.455	436,000		353,000	450	
-108.0		560	17.6	0.446	563,000		456,000	504	
-196.0		600	17.8	0.442	653,000		529,000	540	
	解放基盤	700	18.5	0.421	924,000	1.00	924,000	700	-

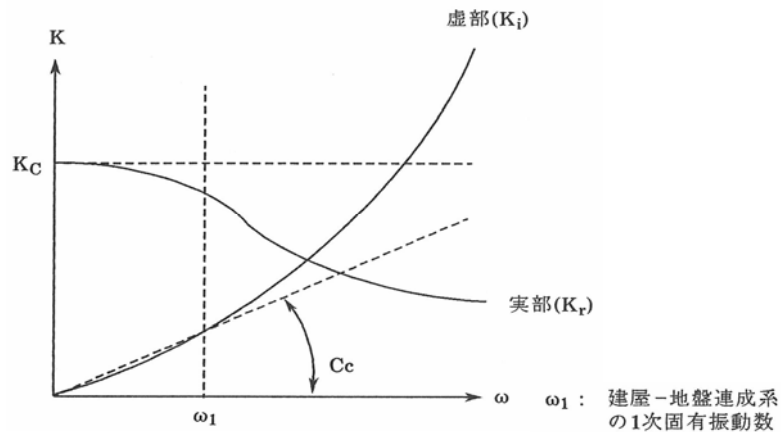


図-4.3 地盤ばねの近似

5. 地震応答解析結果

地震応答解析により求められた NS 方向、EW 方向の最大応答加速度を図-5.1 および図-5.2 に示す。

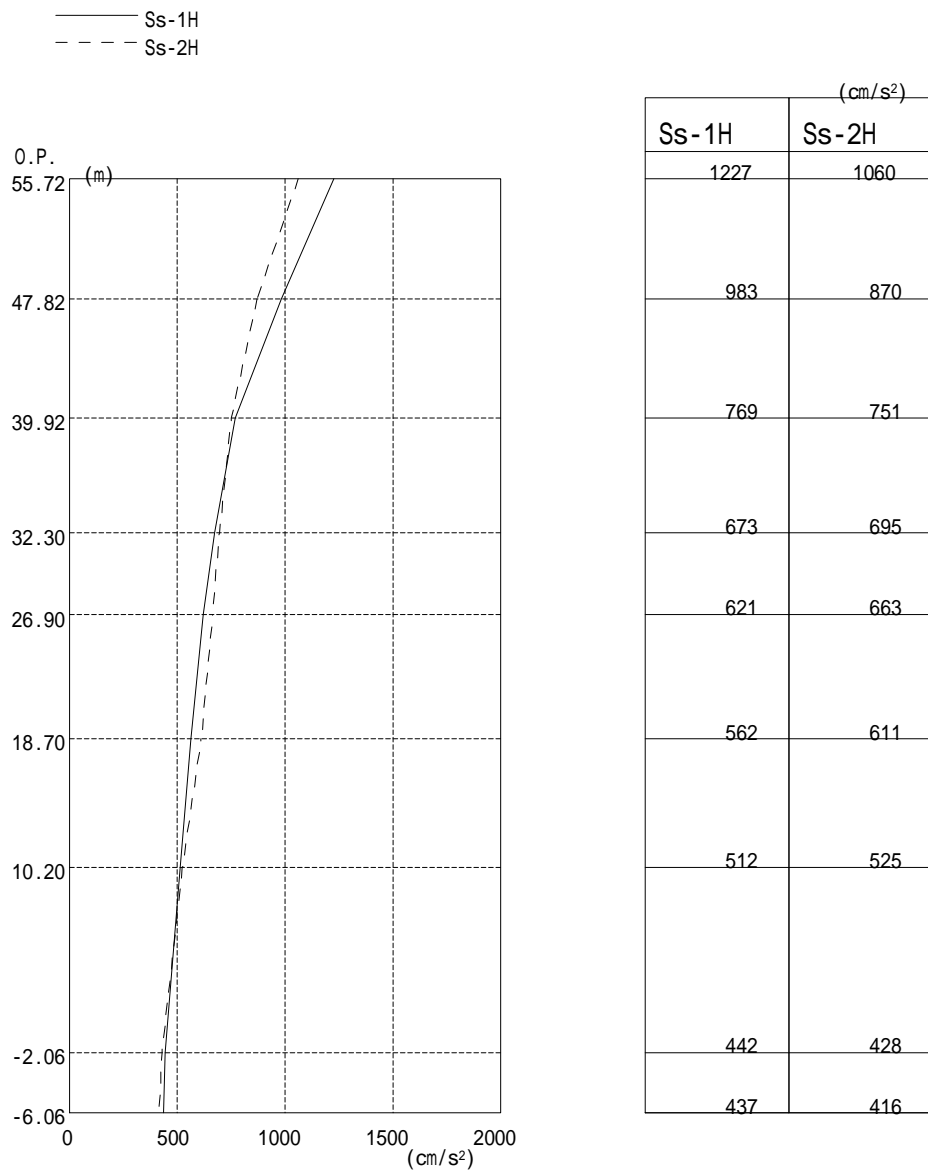


図-5.1 最大応答加速度 (NS 方向)

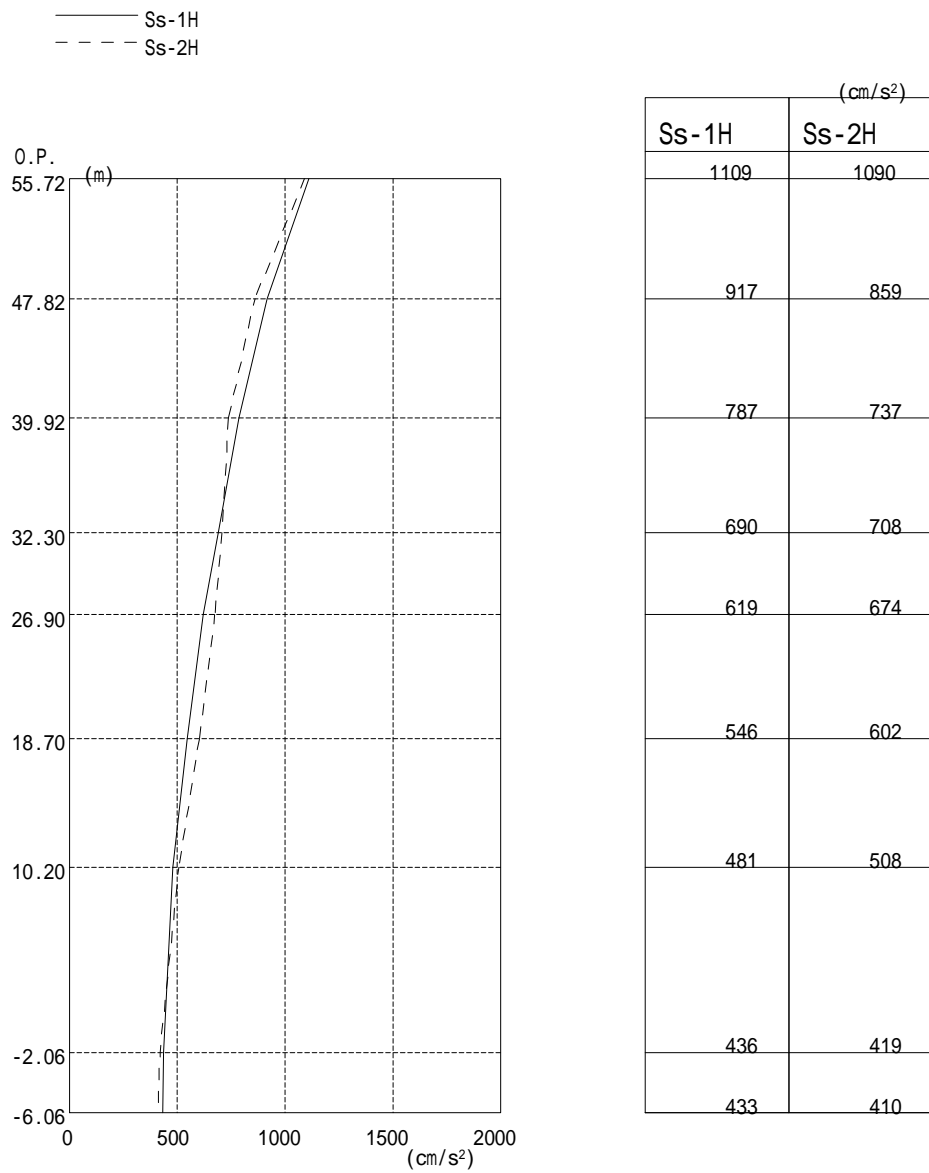


图-5.2 最大応答加速度 (EW 方向)

6. 耐震安全性評価結果

表-6.1 及び表-6.2 に耐震壁のせん断ひずみ一覧を示す。図-6.1、図-6.2 および図-6.3、図-6.4 に基準地震動 Ss-1 および基準地震動 Ss-2 に対する最大応答値を耐震壁のせん断スケルトン曲線上に示す。せん断ひずみは、最大で 0.18×10^{-3} (Ss-2H, NS 方向, 1F) であり、評価基準値 (4.0×10^{-3}) に対して十分余裕がある。

以上のことから、原子炉建屋は耐震安全上重要な設備に波及的影響を与えないものと評価した。

また、本パラメータスタディにおける解析結果と添付資料-1 で示した耐震バックチェックの解析結果には大きな差異が無いことから、変動要因が原子炉建屋の耐震安全性に与える影響は少ないものと考えられる。

表-6.1 耐震壁のせん断ひずみ一覧 (NS 方向)
($\times 10^{-3}$)

階	Ss-1H	Ss-2H	評価基準値
CRF	0.09	0.08	4.0 以下
5F	0.14	0.13	
4F	0.04	0.04	
3F	0.08	0.07	
2F	0.08	0.08	
1F	0.17	0.18	
B1F	0.10	0.10	

表-6.2 耐震壁のせん断ひずみ一覧 (EW 方向)
($\times 10^{-3}$)

階	Ss-1H	Ss-2H	評価基準値
CRF	0.11	0.11	4.0 以下
5F	0.17	0.17	
4F	0.07	0.07	
3F	0.11	0.11	
2F	0.12	0.12	
1F	0.16	0.16	
B1F	0.10	0.11	

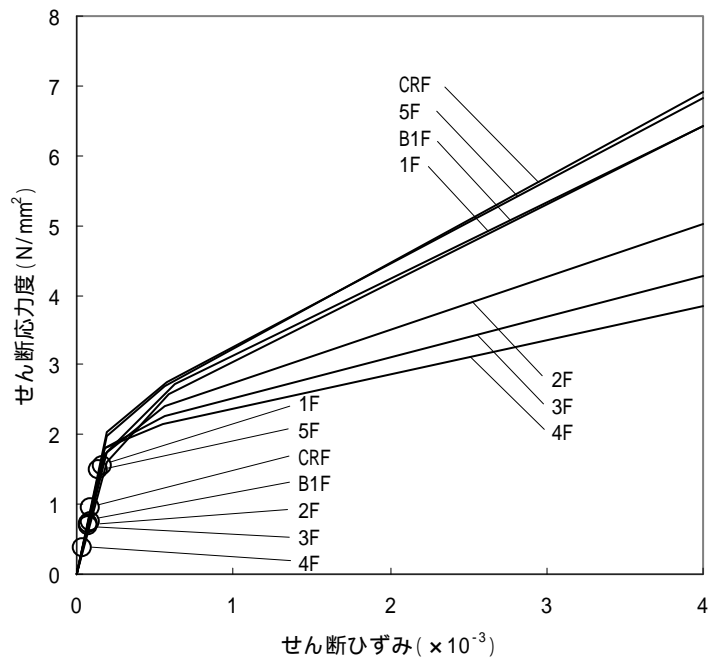


図-6.1 せん断スケルトン曲線上の最大応答値 (Ss-1, NS 方向)

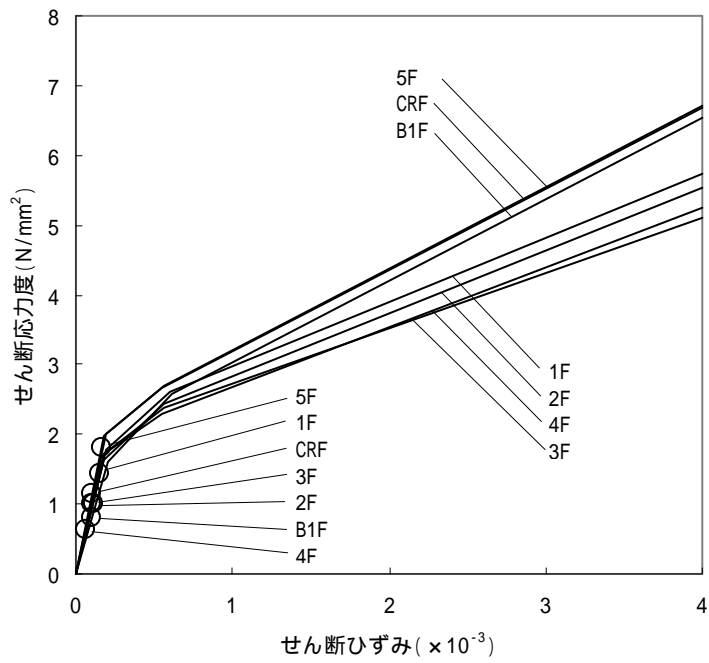


図-6.2 せん断スケルトン曲線上の最大応答値 (Ss-1, EW 方向)

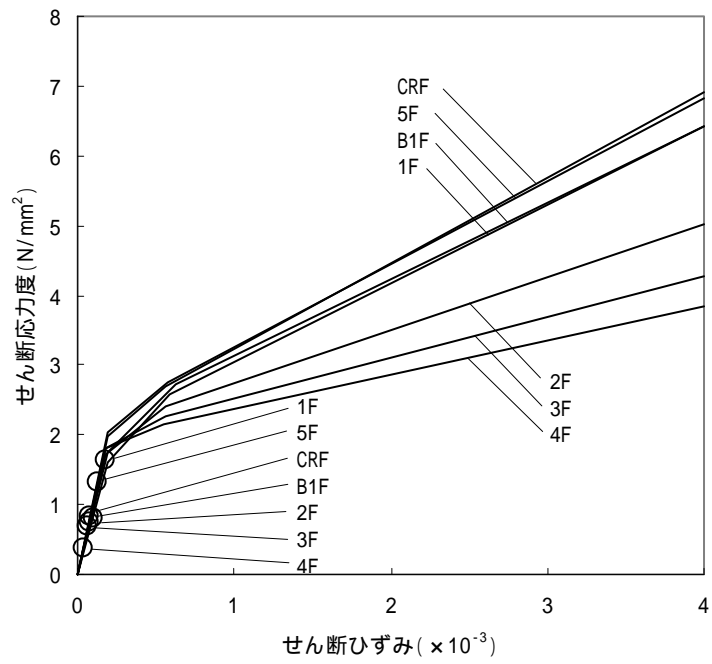


図-6.3 セン断スケルトン曲線上の最大応答値 (Ss-2, NS 方向)

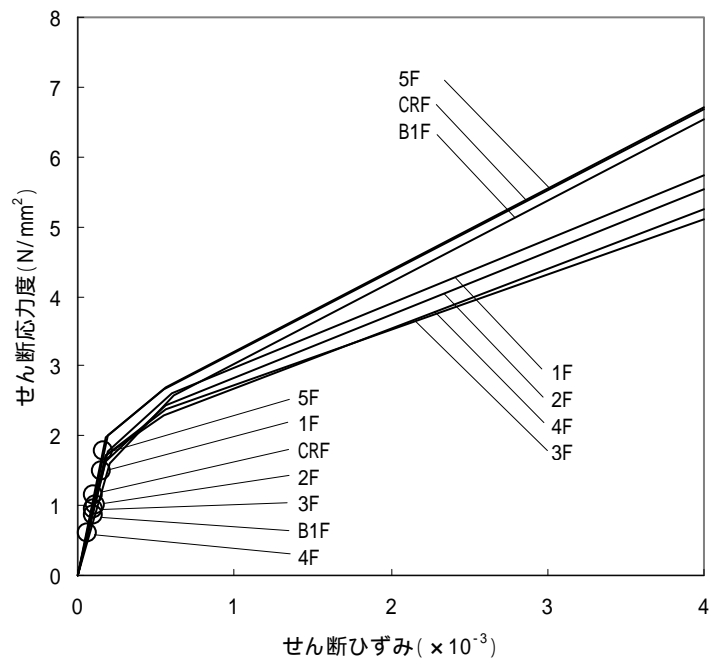


図-6.4 セン断スケルトン曲線上の最大応答値 (Ss-2, EW 方向)

添付資料 - 2 : 5号機の原子炉建屋の耐震安全性評価に関する詳細

1. 評価方針

5号機の原子炉建屋は、既に冷温停止状態を維持しており、外見上の損傷は見られない(図-1.1)。また、建屋内部についても、現状で得られている写真からは構造的な損傷は確認されていない(付録-2.1)。したがって、このような状況を踏まえると、建屋の耐震性という観点からは、耐震バックチェックの解析結果(『福島第一原子力発電所 「発電用原子炉施設に関する耐震設計審査指針」の改訂に伴う耐震安全性評価結果 中間報告書(改訂2)』平成22年4月19日)をそのまま適用できるものと考えられ、本評価では、耐震バックチェックで実施した地震応答解析結果を用いて耐震安全性評価を実施することとした。

なお、原子炉建屋の構造への影響および耐震性の評価は、耐震安全上重要な設備への波及的影響防止の観点から、耐震壁のせん断ひずみと、鉄筋コンクリート造の耐震壁の終局限界に対応した評価基準値(4.0×10^{-3})との比較により行うこととする。



図-1.1 外観写真(北面、3月24日撮影)

2. 耐震安全性評価

(1) 地震応答解析モデルの概要

耐震バックチェックにおける地震応答解析は、基準地震動 S_s を用いた地震応答解析（時刻歴応答解析法）によることとし、建物・構築物や地盤の特性を適切に表現できるモデル（図-2.1）を設定した上で実施した。

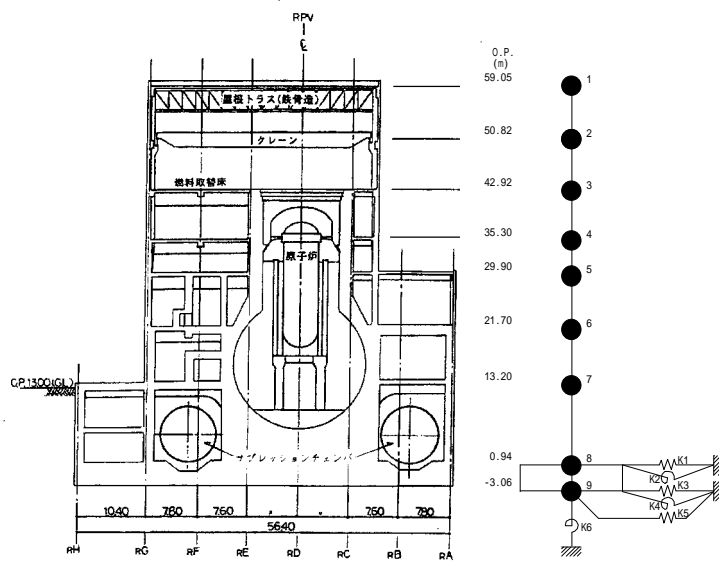


図-2.1 建屋解析モデル図

(2) 耐震安全性評価結果

表-2.1および表-2.2に耐震壁のせん断ひずみ一覧を示す。また図-2.2～図-2.15に基準地震動Ssに対する最大応答値を耐震壁のせん断スケルトン曲線上に示す。せん断ひずみは、最大で 0.19×10^{-3} (Ss-1H, EW方向, 5F) であり、評価基準値 (4.0×10^{-3}) に対して十分余裕がある。

以上のことから、原子炉建屋は耐震安全上重要な設備に波及的影響を与えないものと評価した。

表-2.1 耐震壁のせん断ひずみ一覧 (NS方向)

($\times 10^{-3}$)

階	Ss-1H	Ss-2H	Ss-3H	評価基準値
CRF	0.12	0.12	0.10	4.0以下
5F	0.14	0.14	0.12	
4F	0.05	0.05	0.04	
3F	0.09	0.09	0.08	
2F	0.10	0.10	0.09	
1F	0.15	0.16	0.13	
B1F	0.11	0.11	0.09	

表-2.2 耐震壁のせん断ひずみ一覧 (EW方向)

($\times 10^{-3}$)

階	Ss-1H	Ss-2H	Ss-3H	評価基準値
CRF	0.16	0.16	0.14	4.0以下
5F	0.19	0.18	0.16	
4F	0.09	0.08	0.07	
3F	0.11	0.11	0.09	
2F	0.11	0.12	0.10	
1F	0.11	0.12	0.10	
B1F	0.11	0.11	0.09	

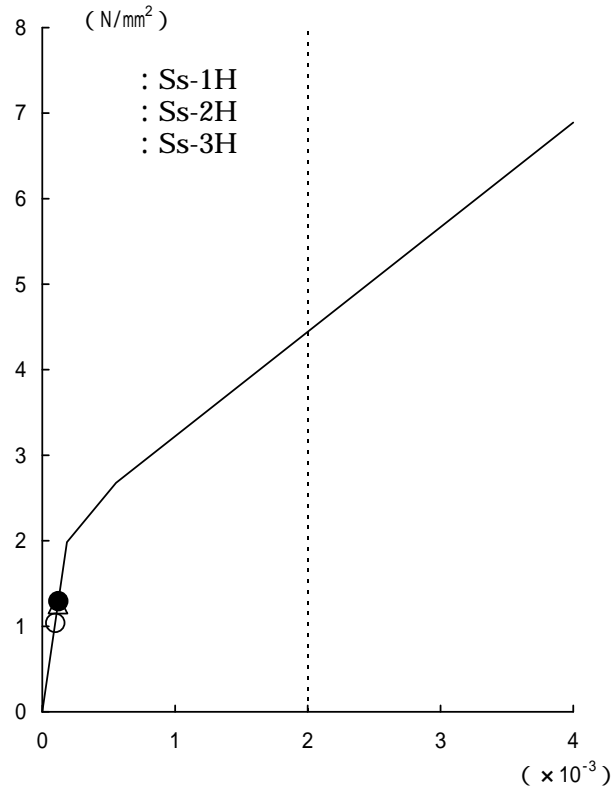


図-2.2 せん断スケルトン曲線上の最大応答値 (NS 方向, CRF)

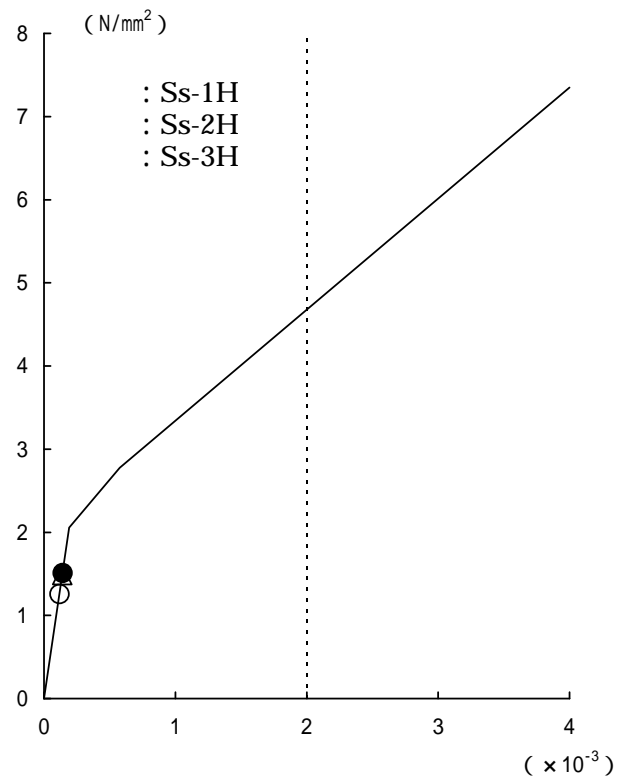


図-2.3 せん断スケルトン曲線上の最大応答値 (NS 方向, 5F)

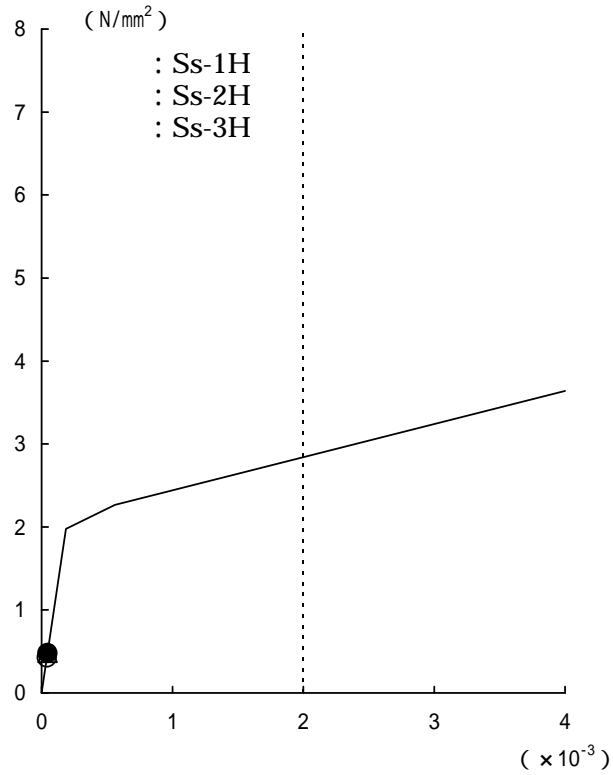


図-2.4 せん断スケルトン曲線上の最大応答値 (NS 方向, 4F)

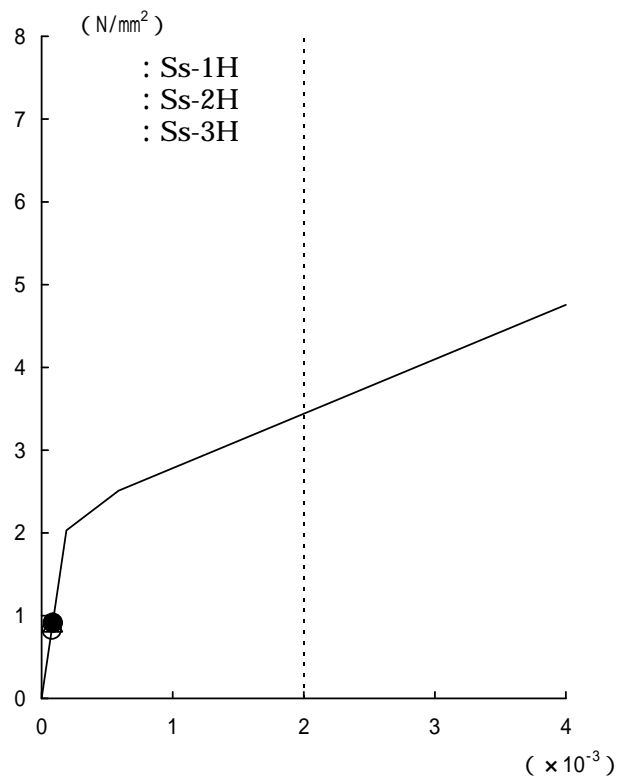


図-2.5 せん断スケルトン曲線上の最大応答値 (NS 方向, 3F)

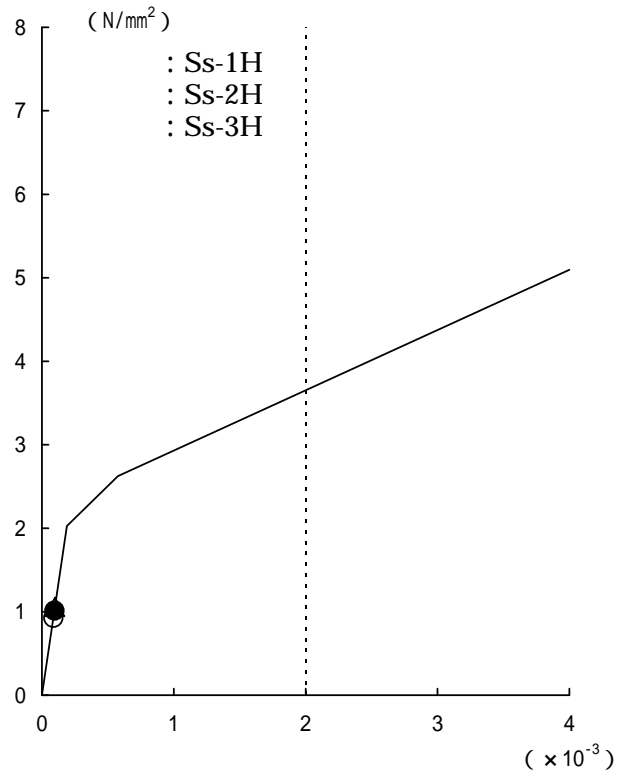


図-2.6 せん断スケルトン曲線上の最大応答値 (NS 方向, 2F)

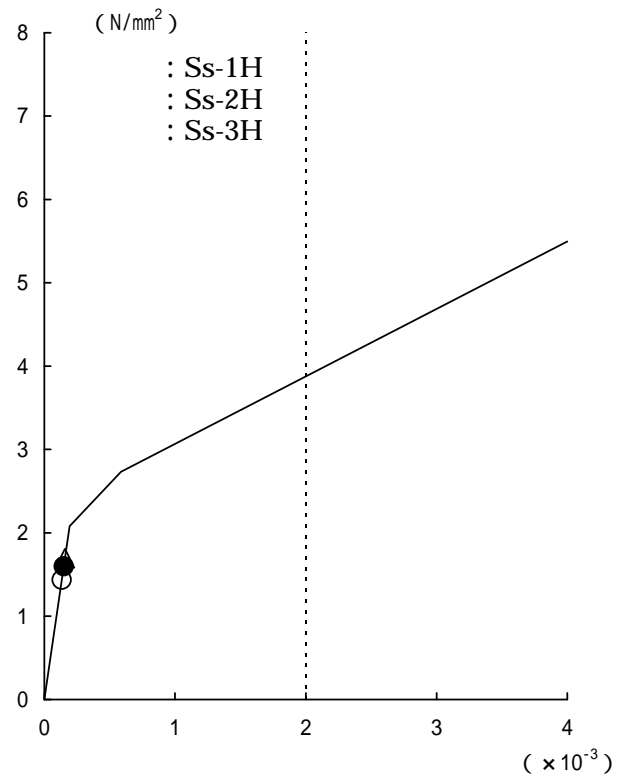


図-2.7 せん断スケルトン曲線上の最大応答値 (NS 方向, 1F)

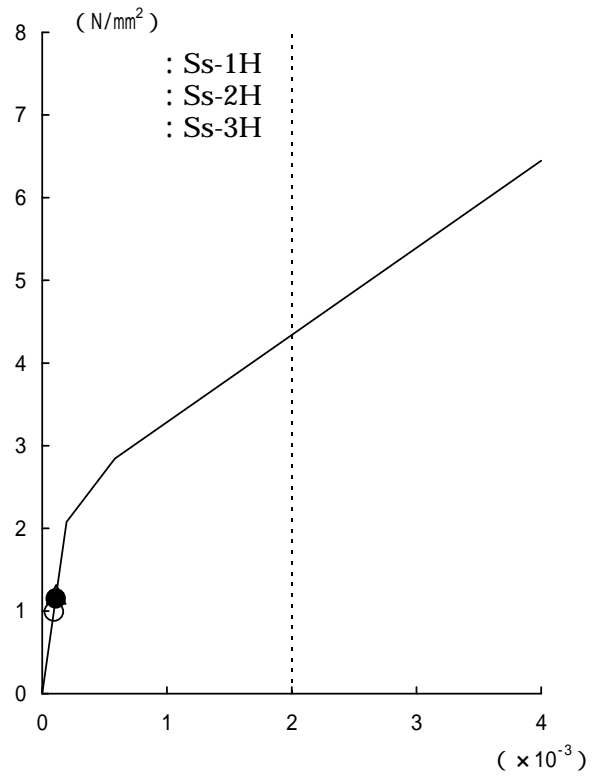


図-2.8 せん断スケルトン曲線上の最大応答値 (NS 方向, B1F)

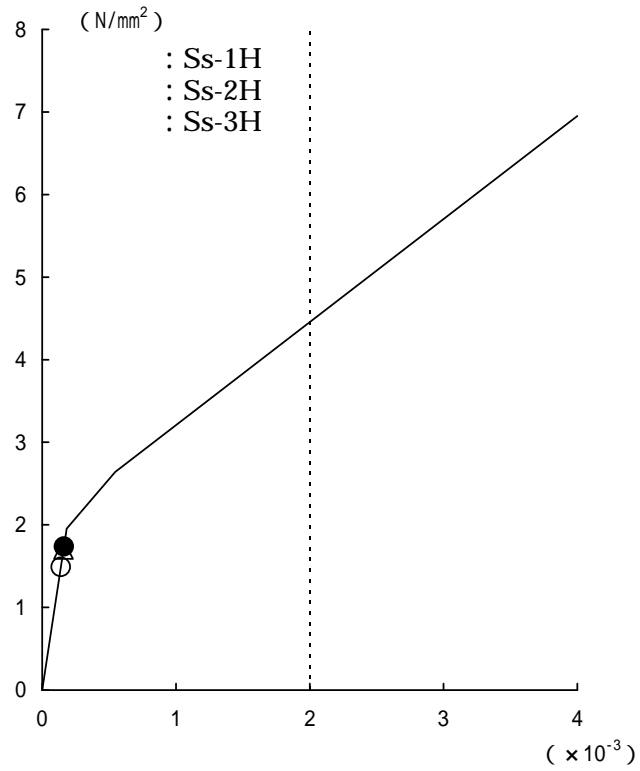


図-2.9 せん断スケルトン曲線上の最大応答値 (EW 方向, CRF)

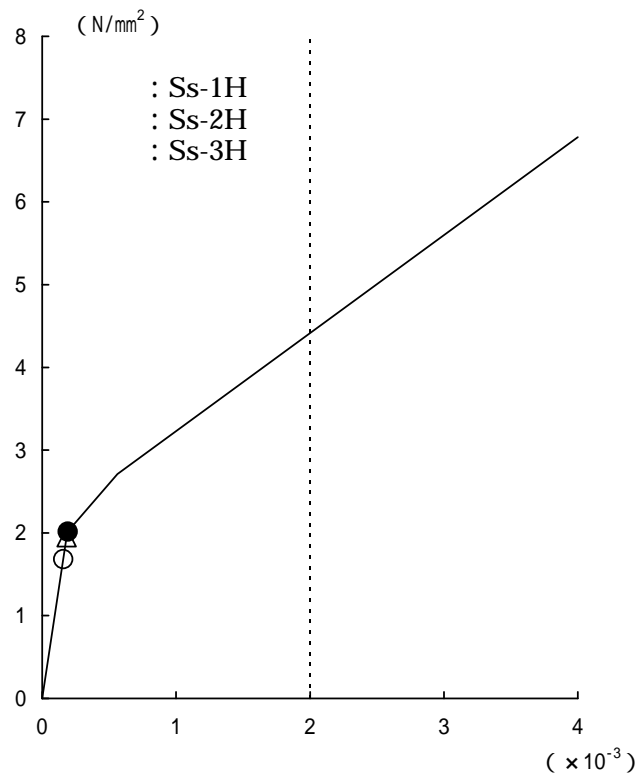


図-2.10 せん断スケルトン曲線上の最大応答値 (EW 方向, 5F)

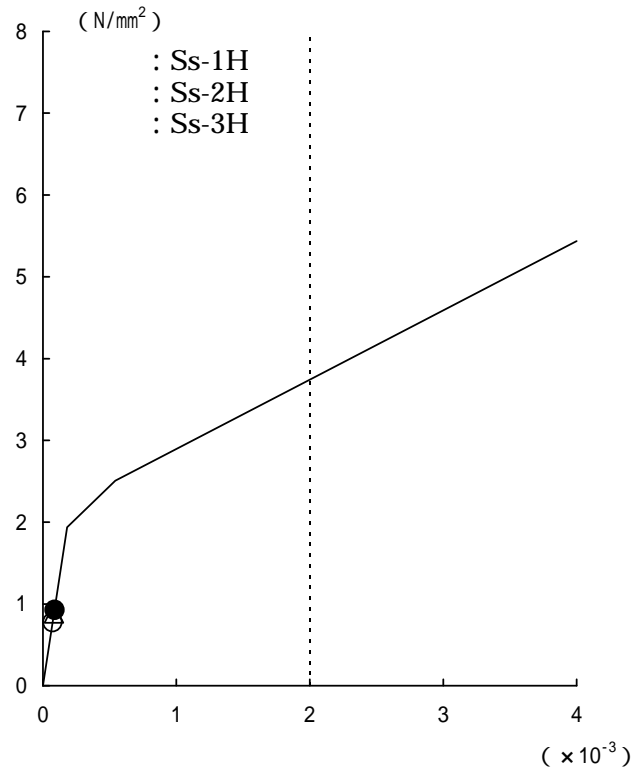


図-2.11 せん断スケルトン曲線上の最大応答値 (EW 方向, 4F)

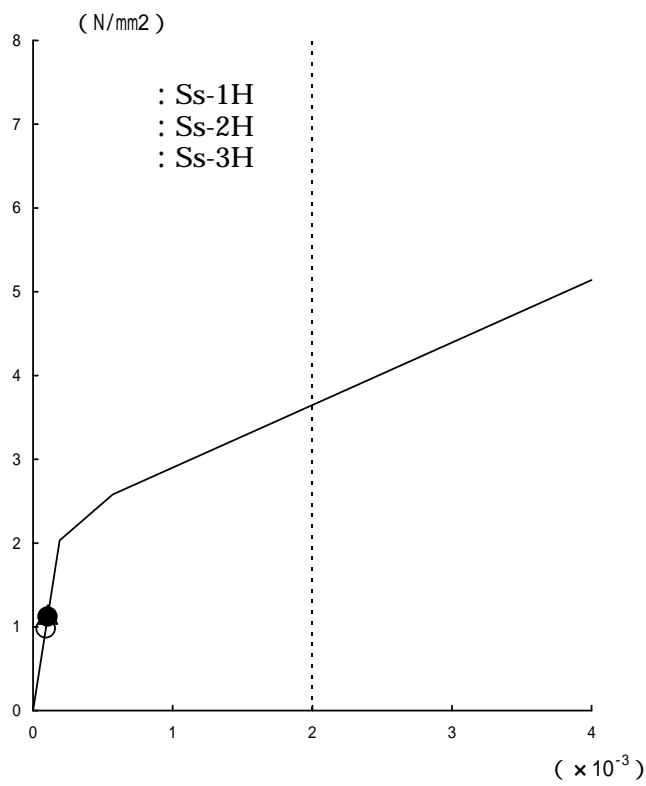


図-2.12 せん断スケルトン曲線上の最大応答値 (EW 方向, 3F)

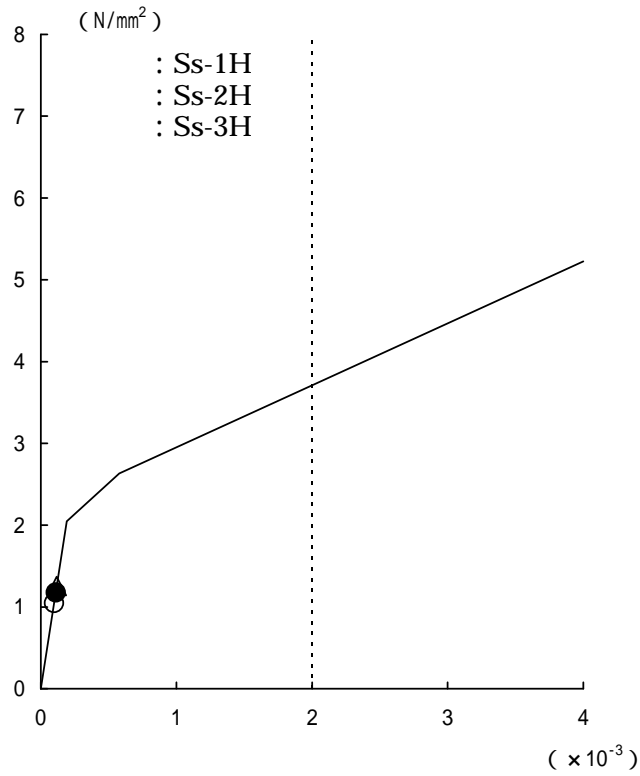


図-2.13 せん断スケルトン曲線上の最大応答値 (EW 方向, 2F)

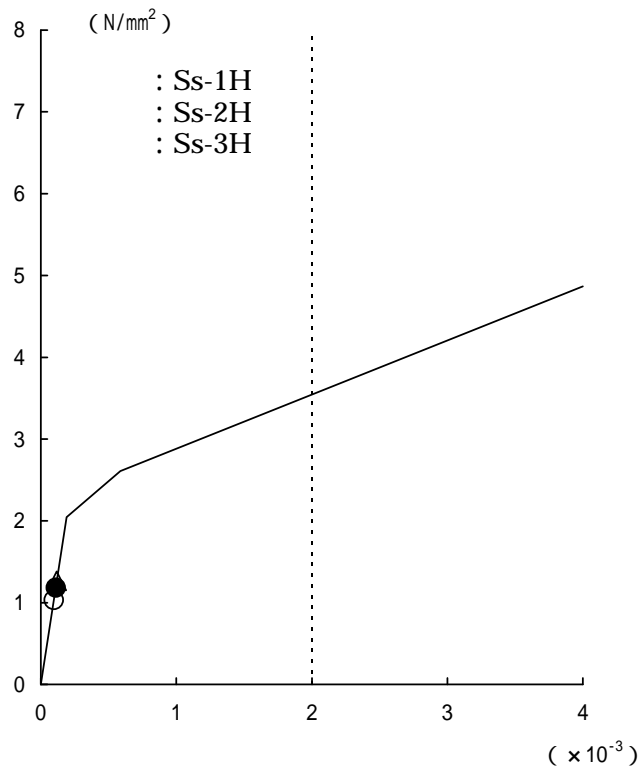


図-2.14 せん断スケルトン曲線上の最大応答値 (EW 方向, 1F)

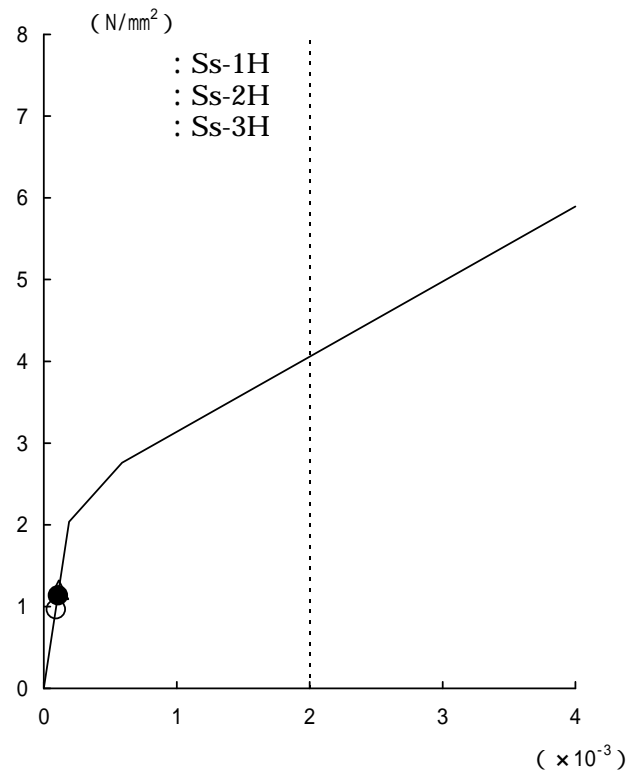


図-2.15 せん断スケルトン曲線上の最大応答値 (EW 方向, B1F)

5号機建屋内部の状況について

福島第一原子力発電所 5号機原子炉建屋については、7月26日に東京電力が建屋内部の写真
を撮影している。その時に撮影した写真を図-1に示す。



1階 西側外壁



1階 南側シェル壁



2階 西側外壁



3階 西側燃料プール壁



3階 北側シェル壁



4階 東側燃料プール壁

図-1(1) 5号機建屋内部の状況(7月26日撮影)



4階 東側シェル壁



5階 北側外壁

図-1(2) 5号機建屋内部の状況(7月26日撮影)

添付資料－ 3 : 6号機の原子炉建屋の耐震安全性評価に関する詳細

1. 評価方針

6号機の原子炉建屋は、既に冷温停止状態を維持しており、外見上の損傷は見らない(図-1.1)。内部についても詳細な点検は行っていないものの、構造的な損傷があったとの情報は得られていない。したがって、このような状況を踏まえると、建屋の耐震性という観点からは、耐震バックチェックの解析結果(『福島第一原子力発電所 「発電用原子炉施設に関する耐震設計審査指針」の改訂に伴う耐震安全性評価結果 中間報告書(改訂2)』平成22年4月19日)をそのまま適用できるものと考えられ、本評価では、耐震バックチェックで実施した地震応答解析結果を用いて耐震安全性評価を実施することとした。

なお、原子炉建屋の構造への影響および耐震性の評価は、耐震安全上重要な設備への波及的影響防止の観点から、耐震壁のせん断ひずみと、鉄筋コンクリート造の耐震壁の終局限界に対応した評価基準値(4.0×10^{-3})との比較により行うこととする。



図-1.1 外観写真(北面、3月24日撮影)

2. 耐震安全性評価

(1) 地震応答解析モデルの概要

耐震バックチェックにおける地震応答解析は、基準地震動 S_s を用いた地震応答解析（時刻歴応答解析法）によることとし、建物・構築物や地盤の特性を適切に表現できるモデル（図-2.1）を設定した上で実施した。

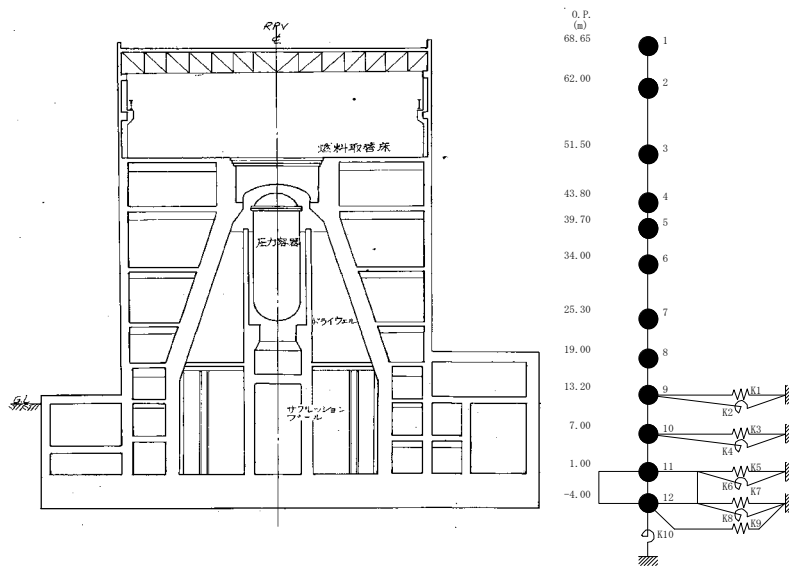


図-2.1 建屋解析モデル図

(2) 耐震安全性評価結果

表-2.1および表-2.2に耐震壁のせん断ひずみ一覧を示す。また図-2.2～図-2.21に基準地震動 S_s に対する最大応答値を耐震壁のせん断スケルトン曲線上に示す。せん断ひずみは、最大で 0.33×10^{-3} (S_s -1H, NS方向, 2F) であり、評価基準値 (4.0×10^{-3}) に対して十分余裕がある。

以上のことから、原子炉建屋は耐震安全上重要な設備に波及的影響を与えないものと評価した。

表-2.1 耐震壁のせん断ひずみ一覧 (NS方向)

($\times 10^{-3}$)

階	S_s -1H	S_s -2H	S_s -3H	評価基準値
CRF	0.07	0.07	0.06	4.0 以下
6F	0.14	0.13	0.12	
5F	0.09	0.08	0.07	
M5F	0.15	0.13	0.13	
4F	0.19	0.17	0.17	
3F	0.19	0.18	0.17	
2F	0.33	0.28	0.20	
1F	0.15	0.15	0.13	
B1F	0.11	0.11	0.09	
B2F	0.12	0.12	0.10	

表-2.2 耐震壁のせん断ひずみ一覧 (EW方向)

($\times 10^{-3}$)

階	S_s -1H	S_s -2H	S_s -3H	評価基準値
CRF	0.06	0.06	0.05	4.0 以下
6F	0.12	0.12	0.11	
5F	0.08	0.07	0.07	
M5F	0.17	0.15	0.15	
4F	0.23	0.19	0.19	
3F	0.20	0.19	0.17	
2F	0.23	0.21	0.18	
1F	0.14	0.14	0.12	
B1F	0.10	0.11	0.08	
B2F	0.12	0.12	0.09	

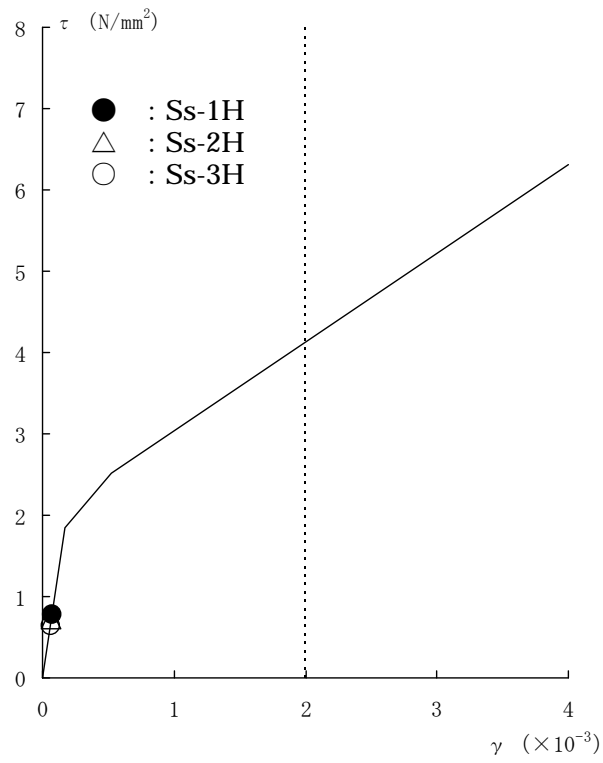


図-2.2 せん断スケルトン曲線上の最大応答値 (NS 方向, CRF)

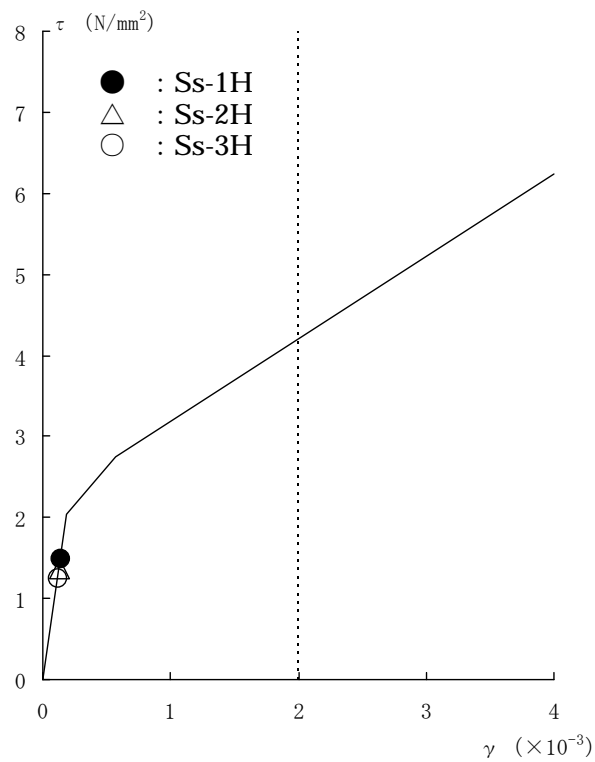


図-2.3 せん断スケルトン曲線上の最大応答値 (NS 方向, 6F)

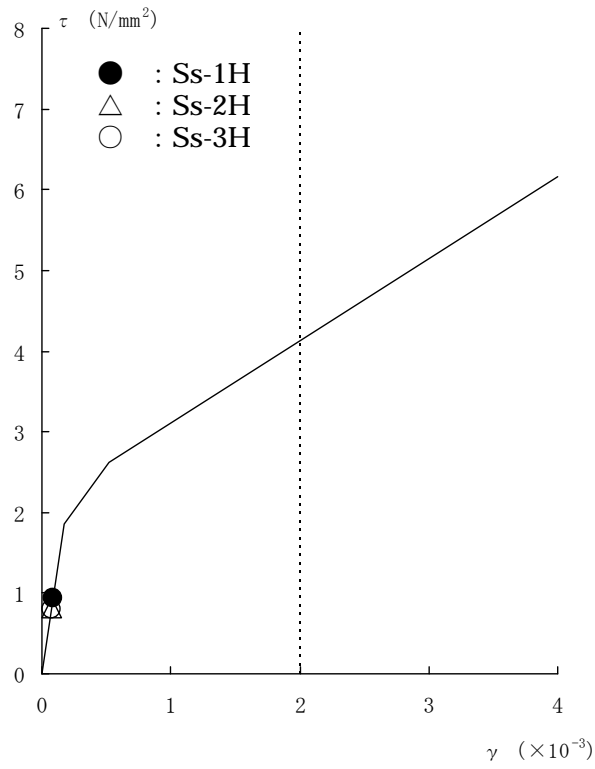


図-2.4 せん断スケルトン曲線上の最大応答値 (NS 方向, 5F)

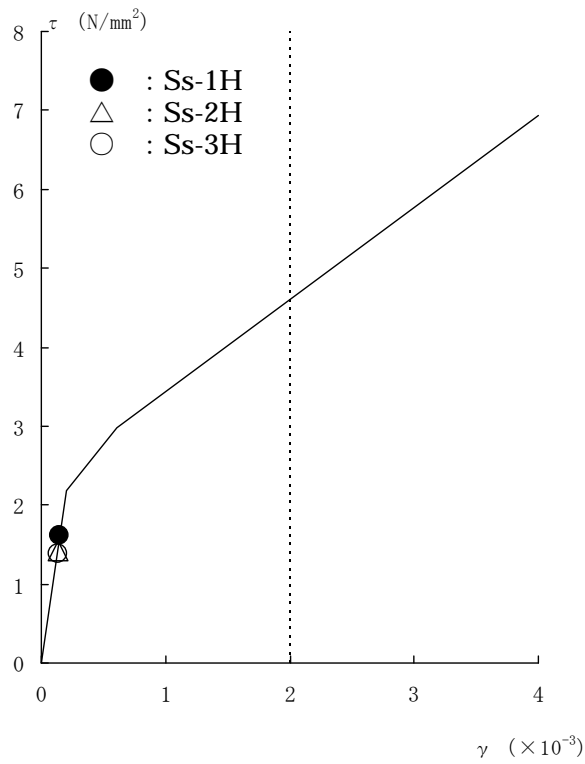


図-2.5 せん断スケルトン曲線上の最大応答値 (NS 方向, M5F)

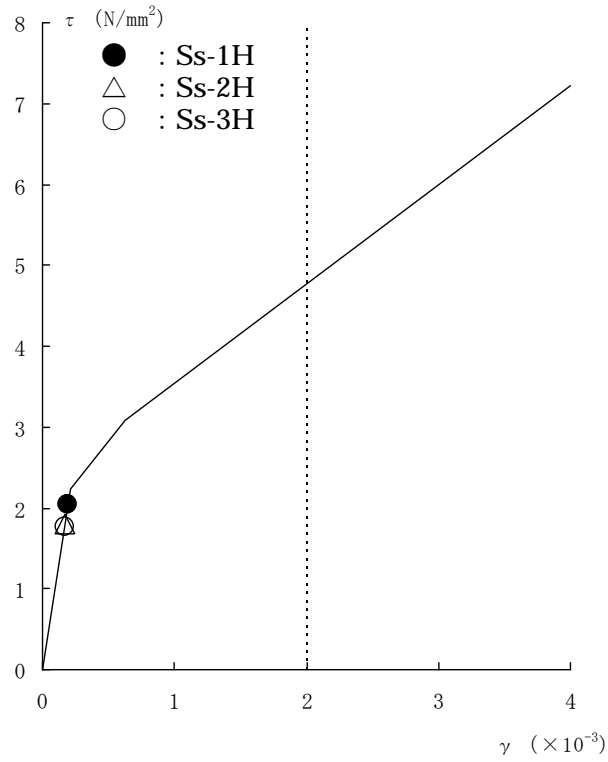


図-2.6 せん断スケルトン曲線上の最大応答値 (NS 方向, 4F)

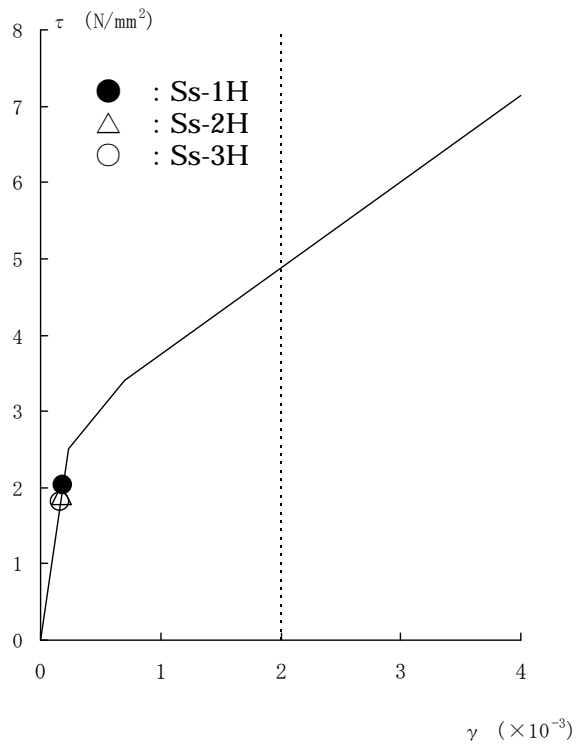


図-2.7 せん断スケルトン曲線上の最大応答値 (NS 方向, 3F)

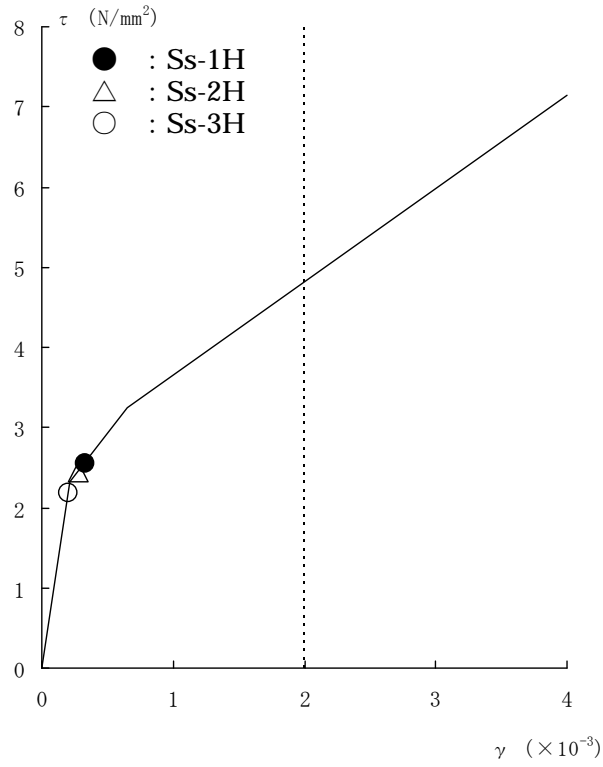


図-2.8 せん断スケルトン曲線上の最大応答値 (NS 方向, 2F)

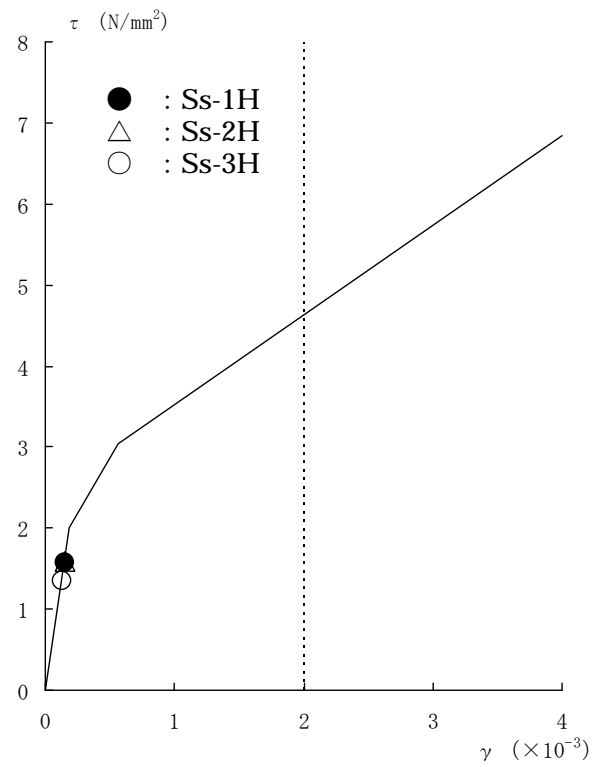


図-2.9 せん断スケルトン曲線上の最大応答値 (NS 方向, 1F)

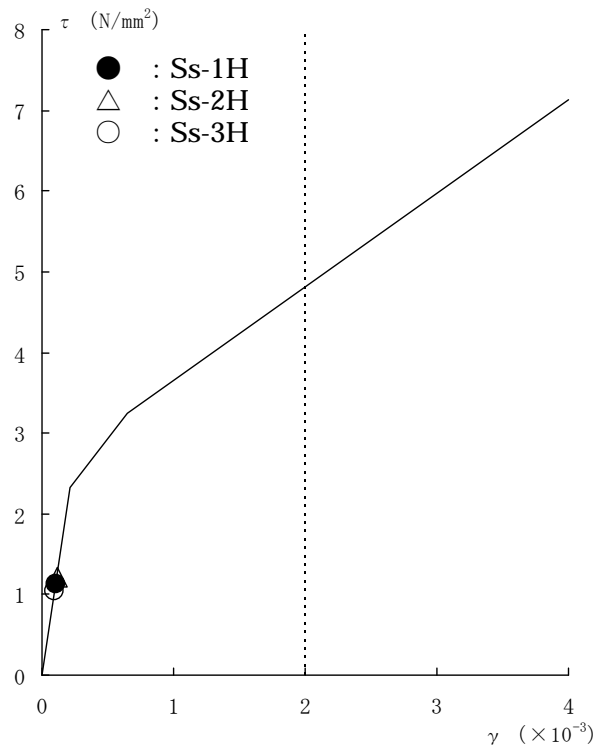


図-2.10 せん断スケルトン曲線上の最大応答値 (NS 方向, B1F)

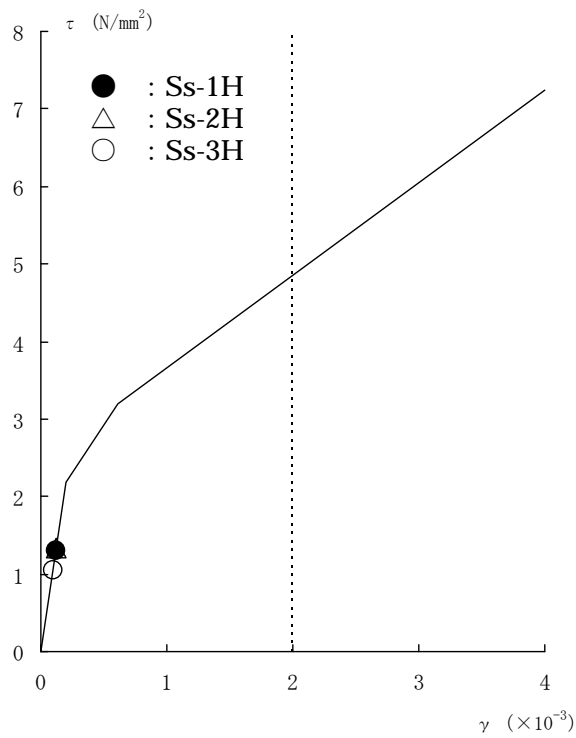


図-2.11 せん断スケルトン曲線上の最大応答値 (NS 方向, B2F)

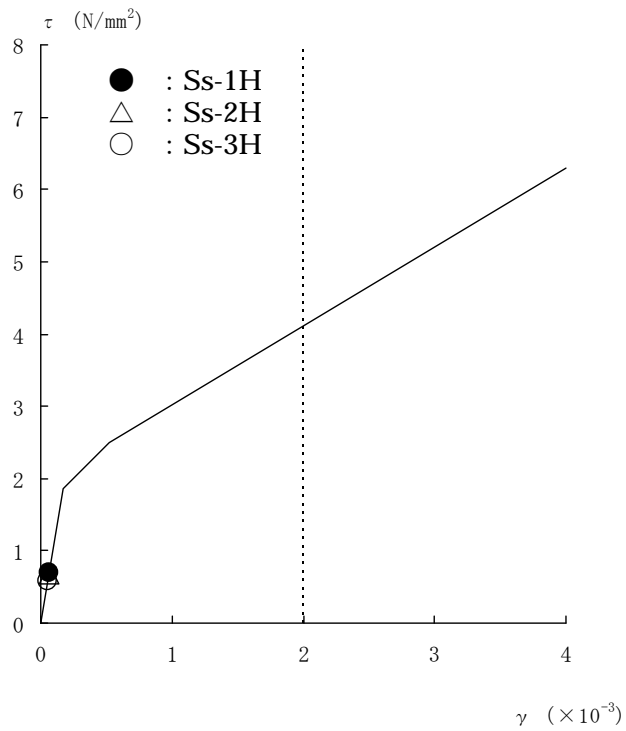


図-2.12 せん断スケルトン曲線上の最大応答値 (EW 方向, CRF)

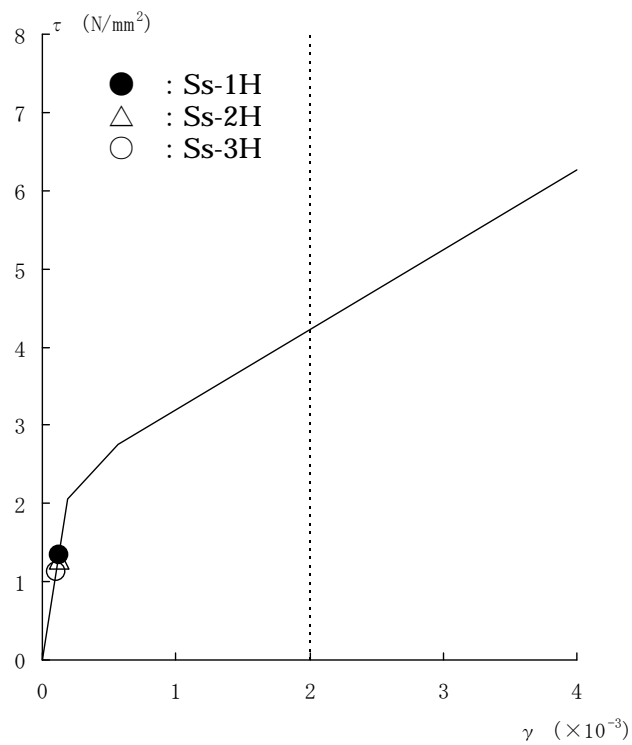


図-2.13 せん断スケルトン曲線上の最大応答値 (EW 方向, 6F)

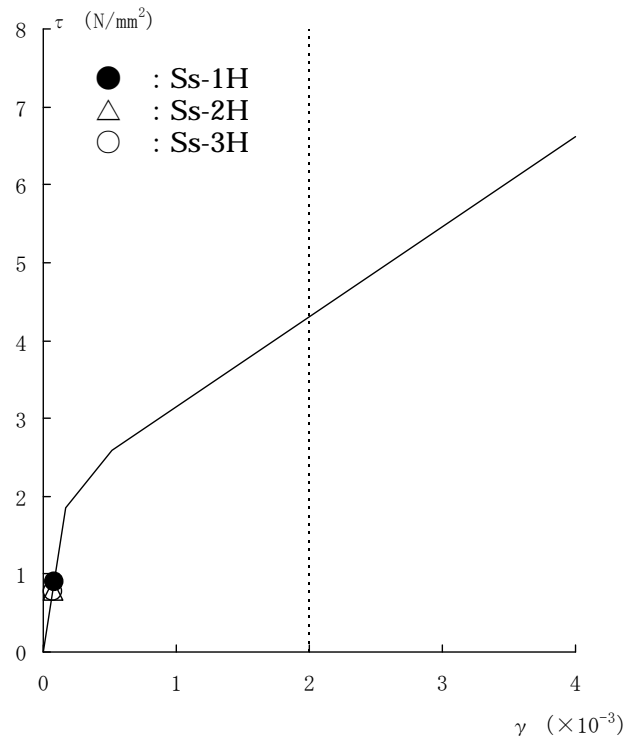


図-2.14 せん断スケルトン曲線上の最大応答値 (EW 方向, 5F)

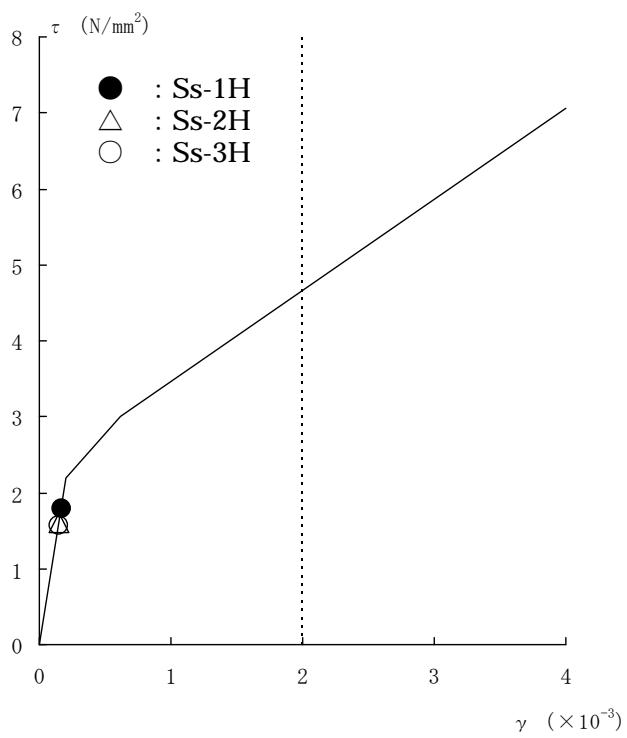


図-2.15 せん断スケルトン曲線上の最大応答値 (EW 方向, M5F)

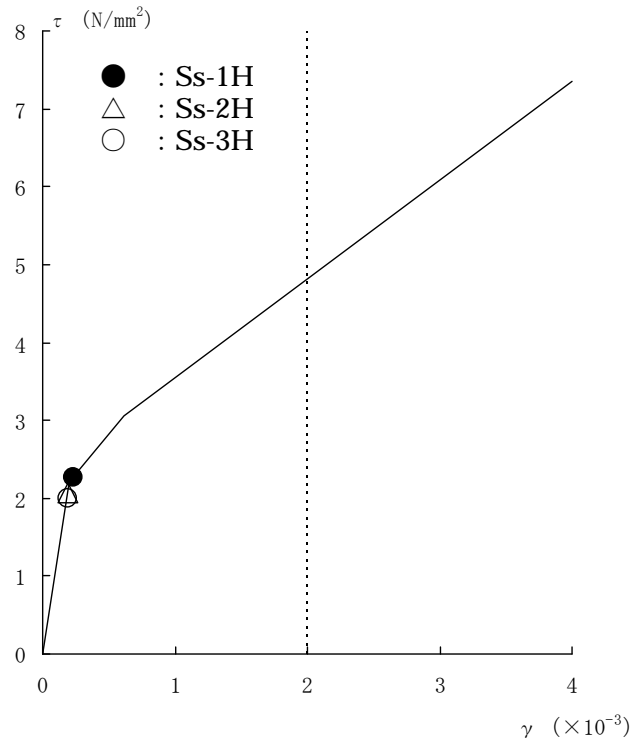


図-2.16 せん断スケルトン曲線上の最大応答値 (EW 方向, 4F)

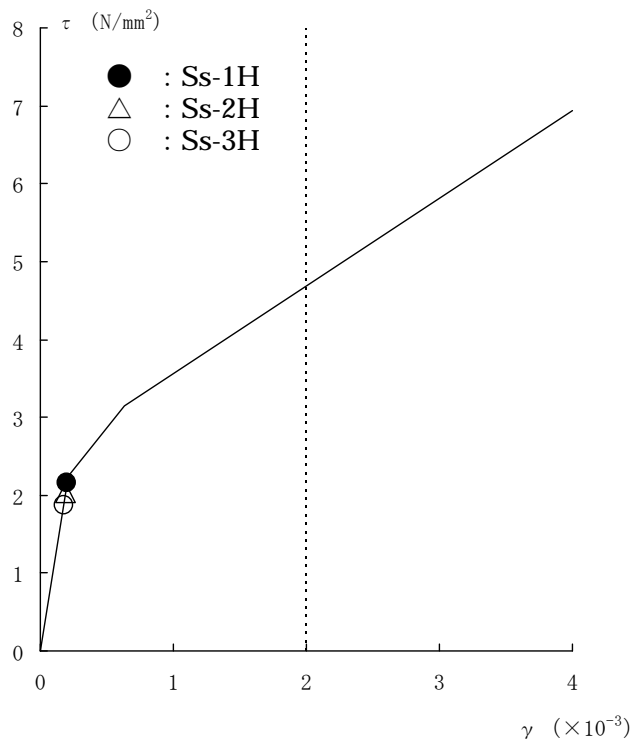


図-2.17 せん断スケルトン曲線上の最大応答値 (EW 方向, 3F)

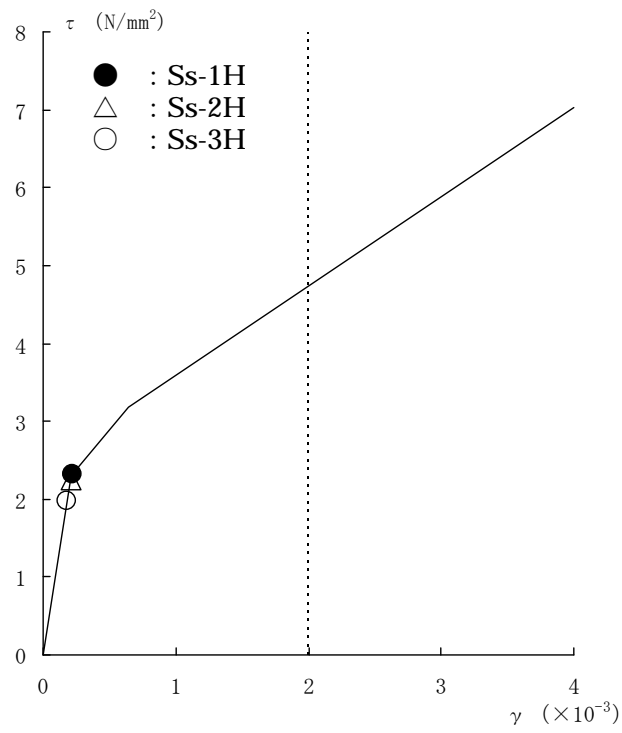


図-2.18 せん断スケルトン曲線上の最大応答値 (EW 方向, 2F)

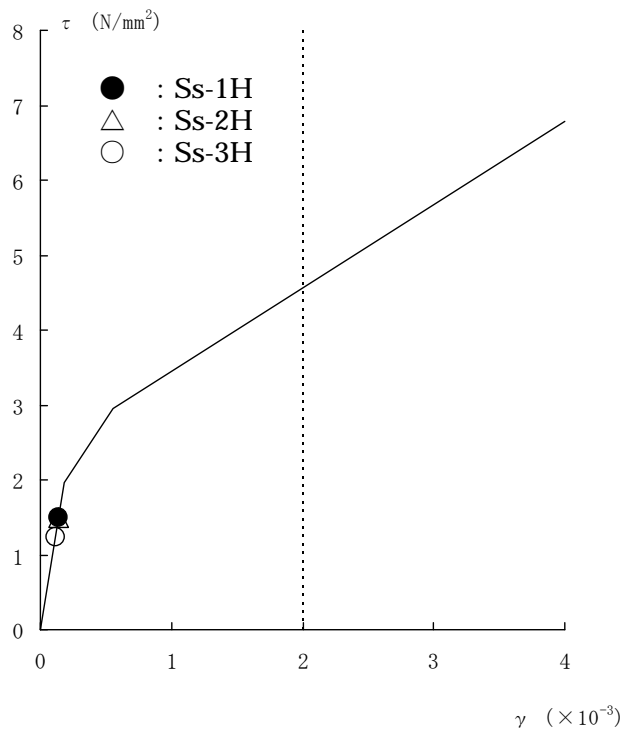


図-2.19 せん断スケルトン曲線上の最大応答値 (EW 方向, 1F)

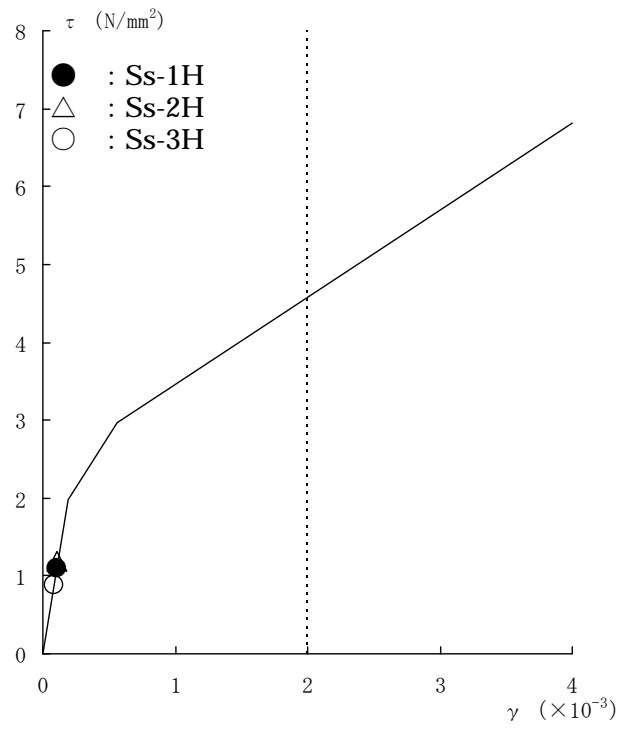


図-2.20 せん断スケルトン曲線上の最大応答値 (EW 方向, B1F)

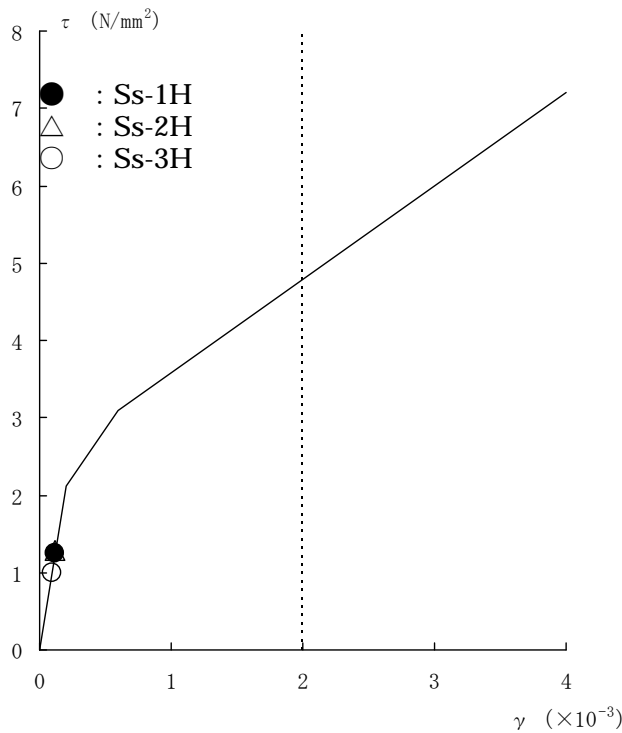


図-2.21 せん断スケルトン曲線上の最大応答値 (EW 方向, B2F)